

وزارت معادن و فلزات
سازمان زمین‌شناسی و اکتشافات معدنی کشور

گروه اطلاعات زمین مرجع

طرح اکتشافات مواد معدنی با استفاده از داده‌های ماهواره‌ای و ژئوفیزیک هوائی

گزارش پردازش و تفسیر ژئوفیزیک هوائی به روش مغناطیس‌سنجی
در برگه جبال بارز

مجری طرح: مهندس محمد تقی کره‌ای

مجری فنی: مهندس ایرج نوائی

توسط: آنوش‌هاشمی

بهار ۱۳۷۹

عنوان	شماره صفحه
- مقدمه	۲-۱
- موقعیت جغرافیائی منطقه	۳
- چکیده‌ای از زمین‌شناسی منطقه	۸-۴
- بررسیهای مغناطیسی در ورقه جبال بارز	۹
- تفسیر خط به خط پروفیلها	۱۲-۹
- نقشه شماره ۱ (نقشه برگردان به قطب)	۱۳
- نقشه شماره ۲ (نقشه انطباق برگردان به قطب و زمین‌شناسی)	۱۴
- نقشه شماره ۳ - ۴ - ۵ (نقشه مشتق اول و دوم قائم - گسترش بطرف پایین)	۱۷-۱۵
- نقشه شماره ۶ (نقشه سیگنال)	۱۸
- نقشه شماره ۷ (نقشه گسترش به طرف بالا)	۱۹
- نقشه شماره ۸ - ۹ (نقشه بازتابش)	۲۰
- نتیجه‌گیری	۲۵-۲۱

مقدمه :

انواع روش‌های ژئوفیزیک بر اساس اندازه‌گیری خواص مختلف فیزیکی سنگها و رخساره‌های زمین‌شناسی جهت تفکیک آنها از یکدیگر استوار است. برخی ویژگیهایی که از آنها می‌توان در مطالعات ژئوفیزیک بهره جست عبارتند از شدت مغناطیسی، چگالی، سرعت سیر امواج الاستیک، هدایت الکتریکی، هدایت حرارتی و رادیوакتیویته.

منشاء برخی از این خواص بطور طبیعی در سنگها و کانی‌های تشکیل دهنده آنها و لایه‌های لیتلولژیکی وجود دارند و منشاء برخی نیز بطور مصنوعی ایجاد می‌گردد. علم ژئوفیزیک هوائی یکی از گسترده‌ترین علوم در زمینه اکتشاف می‌باشد. این علم شامل سه روش مغناطیس‌سنجدی، رادیومتری، الکترومنیتی است که توسط هلیکوپتر و یا هواپیما برداشت‌ها صورت می‌گیرد که این مزیت علاوه بر افزایش سرعت عمل، امکان مطالعات در محدوده بسیار وسیع و صعب‌العبور را نیز میسر می‌سازد. هر کدام از این سه روش به نوعی ما را در جهت اهدافمان یاری می‌دهند.

کاربرد روش مغناطیس‌سنجدی هوائی :

بطور کلی کاربرد مغناطیس‌سنجدی تفکیک مناطق با شدت مغناطیسی متفاوت از یکدیگر می‌باشد که از جمله موارد ذیل است :

- تعیین توده‌های نفوذی مدفون
- در تهیه نقشه‌های زمین‌شناسی برای مناطقی که دارای پوشیدگی هستند
- تعیین گسل و خطوط ار
- تعیین آلتراسیون

کاربرد روش رادیومتری :

توزیع K , U , Th در ۳۵ سانتی‌متری بالای سطح زمین را نشان می‌دهد بنابراین برای نوع Bedrock, زون

آلترا، مناطق کانی زایی، ریگولیت‌ها مهم می‌باشند. در تعیین کانی زایی اورانیوم نیز ما را یاری می‌دهند.

کاربرد روش الکترومنیتیت:

این روش به دو صورت دامنه زمانی ثابت (TEM) و دامنه فرکانس ثابت (FEM) صورت می‌گیرد. و در زمینه‌های ذیل کاربرد دارد:

- بیشتر در اکتشاف سولفید‌بها
- نقشه زمین‌شناسی
- نقشه ساختمانی
- آبهای زیرزمینی
- اکتشاف کیمبریتها
- نقشه کانالها
- نقشه کربناتها

بر اساس طرح اکتشافات مواد معدنی با استفاده از داده‌های ماهواره‌ای و ژئوفیزیک هوائی. مطالعات ژئوفیزیک هوائی به روش مغناطیس‌سنجدی در ورقه جبال بارز صورت گرفت.

مشخصات داده‌های استفاده شده:

فاصله خطوط پرواز ۷/۵ کیلومتر

ارتفاع پرواز ۴۰۰۰ پا

فاصله خطوط بست و کنترل ۱۰ Km

از آنجائی که فاصله خطوط پرواز خیلی زیاد می‌باشد لذا در تعیین تارگت (هدف) نمی‌توان از این داده‌ها استفاده نمود ولی برای تعیین گسل، خطواره، ساختارهای تکتونیکی می‌توان از این داده‌ها به خوبی بهره گرفت. از آنجائی که داده‌های در دسترس با مشخصات فوق می‌باشند لذا به ناچار با انجام مراحل متعدد برای تهیه نقشه‌های تفسیری - تکمیلی این داده‌ها مورد استفاده قرار گرفتند.

موقعیت جغرافیائی منطقه:

ناحیه جبال بارز در عرض جغرافیائی ۳۰° تا $۳۰^{\circ} ۵۸^{\circ}$ و طول جغرافیائی ۵۸° تا $۲۹^{\circ} ۰۰^{\circ}$ قرار گرفته است. ناحیه جبال بارز قسمتی از کمرینند ولکانیکی بزمان - سهند می باشد که از طرف شمال توسط دشت بم و از طرف جنوب توسط زمینهای مرتفع حنا، محدود گشته است.

بالاترین ارتفاعات در سنگهای پیروکلاستیک شمال توده های گرانیت جبال بارز در تنگه قلعه (۳۱۰۰) و کوه سرзاح (۳۰۰۰m) و کوه چف شک (۳۵۰۰m) می رسد.

چکیده‌ای از زمین‌شناسی منطقه:

متن ذیل از گزارش ۱:۱۰۰،۰۰۰ اکتشافات معدنی (توسط مهندس یوسف قمیان) ورقه جبال بارز اقتباس شده است.

مرور کلی بر سازندهای موجود

قدیمی‌ترین سنگ‌های رخنمون‌دار بیشتر در بخش شمالی ورقه قرار گرفته‌اند. این سنگ‌ها بصورت سکانسهای چین خورده بوده و شامل ماسه‌سنگ‌های آهکی به رنگ تیره خاکستری تا سبز متمایل به قهوه‌ای با میان لایه‌هایی با تکرار منظم از جنس شیل و مارن زیتونی تا سبز رنگ (K_2F) و کنگلومرا (K_2C) می‌باشد. کنگلومرا دارای قطعات با گردش‌گی خوب و اندازه در حد متوسط تا درشت از جنس سنگ آهک‌های کرتاسه است. طبیعت و ضخامت رسوبات در این منطقه نشان از فرونشست مداوم و تجمع سریع رسوبات در طی رسوبگذاری است. فسیل‌های جمع‌آوری شده از ماسه‌های آواری و آهک‌های مارنی از سازند K_2F دلالت بر اشکوب سنومانین - تورین دارند.

سنگ‌های متعلق به ائوسن منطقه‌ای وسیع را می‌پوشانند، اما لایه‌های فسیل‌دار (با سن ائوسن میانی) فقط به نقاط کوچکی محدود می‌شوند. این سنگ‌ها بطور مشخص، آذراًواری بوده و دارای میان لایه‌ای از جریانات گدازه‌ای، کنگلومرا، ماسه‌سنگ و توف با رنگ سبز مایل به قرمز می‌باشند. به علت اینکه سکانس پیوسته و کامل از سنگ‌های ائوسن در منطقه قابل مشاهده نیستند، بنابراین ضخامت صحیح هر یک از سری‌ها شناخته شده نیست ولی رویهم رفته دارای ضخامتی در حدود چندین هزار متر است.

در شمال و شرق توده جبال بارز، سنگ‌های آذراًواری و جریانات گدازه‌ای میان لایه‌ای وجود دارند که آنها

در جایی‌هایی می‌توانند به چهار بخش مجزا تقسیم شوند:

۱- بخش فاش کوه (EV) شامل لایه‌های پیچیده و نامنظم از توف، داسیت، آگلومرا و لایه‌های کنگلومرا می‌باشد که در کوه هنگر شامل داسیت ماسیو سفید رنگ با دانه‌بندی گزنومورفیک و بافت پرفیریتیک است. در بخش جنوبی کوه بوریک ریولیت بیوتیتی اسپرولیتی دارای فنوکریست‌های کوارتز، بیوتیت و پلاژیوکلاز پیدا

شده است.

پنج زیرگروه بخش فاش کوه عبارتند از:

Evt1: توف داسیتی بیوتیت دار ماسیو در کوه دهک، که حاوی فنوکریستهایی از بیوتیت و پلاژیوکلاز (الیگوکلاز - آندزین) و دارای بخش‌هایی از جنس آندزیت و ولکانیک‌های اسیدی است. بخش‌های پائینی این زیرگروه دارای دو افق توف ماسه‌ای قرمز رنگ، هر کدام با ضخامت ۱۰۰ متر است. در کوه سیاه این دو افق دیده نشده‌اند.

Evc: در قسمت شمال روستای سیددامنه و جنوب روستای تیتوبار رخنمونی با ضخامت چندین هزار متر از کنگلومرای قرمز رنگ همراه با میان لایه‌هایی از جنس مارن ژیپس دار قرمز رنگ دیده می‌شود. این لایه‌ها توسط کریستال توف‌های شیشه‌ای و گدازه‌های آندزیتی پیروکسن دار پوشانده می‌شوند. گدازه‌ها (که تشکیل دهنده بخش پائینی این سکانس هستند) دارای فنوکریستهایی از آندزین - لابرادوریت و همچنین اوژیت در یک ماتریکس Pilotaxitic از جنس پلاژیوکلاز، میکرولیت، فلدسپات پتاسیم‌دار و مقدار کمی از کوارتز و دانه‌های اپاک است. بخش‌های بالائی این عضو، آندزیت پیروکسن دار، میان لایه‌هایی از توف شیشه‌ای و آگلومرا است.

در کوه بور و غرب روستای دهانه در حدود ۲۰۰ متر از توف‌های صورتی با لایه‌بندی خوب و ریزدانه، یکسری لایه‌های ایگنمبریتی (Evt2) با ضخامت در حدود ۵۰۰ متر را می‌پوشانند. این لایه‌های ایگنمبریتی شیشه‌ای خیلی صاف بوده و دارای پلاژیوکلاز سریستی همراه بلورهای کوارتز به مقدار کم و قطعات سنگهای با ترکیب حد بواسطه در ماتریکسی از شیشه فلزیک دارای زنجیره‌هایی از جنس اکسید آهن می‌باشد. این واحد (Evt2) در بعضی جاها میان لایه‌هایی از جنس کنگلومرا دارد.

واحد اصلی دیگر که در شمال گرانیت جبال بارز رخنمون پیدا کرده است، از کوه سنگ مسی تا کوه گشار دارای چهار زیربخش قابل تشخیص است. پائین‌ترین بخش (Eta1) شامل توف داسیتی سبزرنگ ماسیو ضخیم لایه‌ای است که بافت Vitroclastic داشته و پلاژیوکلاز، کوارتز و قطعاتی از سنگهای ولکانیکی با ترکیب متوسط را در یک ماتریکس از مواد کوارتز و فلدسپات جای داده است. ضمناً عضو توفی قرمز رنگ (Ets) در داخل

واحد Eta1 قرار گرفته است. به طرف شرق لایه هایی از توف داسیتی و آندزیت، داسیت به رنگ صورتی تا بنفس (Eac)، لایه های واحد Eac ضخامتی در حدود ۱۰۰۰ متر داشته و توسط یکسری کریستال توف های داسیتی (Edt1) با ضخامتی در حدود ۲۰۰۰ متر پوشانده می شوند. واحد فوق در صحرا با استفاده از رنگ قرمز قابل تشخیص می باشد. در غرب روستای مروان، لایه هایی از کنگلومرا، شیل و ماسه سنگ با ضخامت چند متر در بخش بالائی واحد Edt1، توف را از واحد Erdt جدا می کنند. واحد Erdt شامل لایه هایی از آذرآواریها، کنگلومرا، گدازه ها به ضخامت بیش از ۲۰۰۰ متر است که از کوه تبارکان تا مرز شمال غربی نقشه گسترش یافته است. میان لایه هایی از جنس آندزیت بازالتی، (رخنمون واحد trt) بطور عمده در بخش غربی وجود دارند. در شمال روستای آب میس واحد فوق میان لایه هایی با جنس توف ریولیتی و چندین لایه نازک از جنس آهک های فسیل دار، دارای فسیلهای ائوسن میانی دارد. واحد Erdt چندین زیر گروه مختلف به شرح ذیل را دارا می باشد :

Erab : در بخش غربی نقشه، لایه هایی از جنس آگلومرا، توف ریولیتی، ماسه سنگ و آندزیت بازالت، یک ساخت ناویدیسی تشکیل داده است. بخش فوقانی آن توسط آگلومرا آبی رنگ و بخش تحتانی توسط سنگهای ریولیتی و آندزیتی به راحتی قابل تشخیص است.

Evt غالباً از آندزیت و آندزیت توف هایی که در بعضی جاهای خیلی کم دگرگون شده و سیلیسی شده اند تشکیل شده است.

در جنوب بیدسیاه، نزدیک مرز غربی نقشه، توف های داسیتی، توده های سبز رنگ وجود دارد. این توف ها آگلومرایی بوده و دارای میان لایه های از جنس آگلومرا و ماسه سنگ است که توسط دایکهای گرانو دیوریتی و میکرو گرانو دیوریتی قطع شده اند. این سنگها به سه بخش تقسیم می شوند. بخش تحتانی (Ert2) بیشتر شامل توف های سبز ضخیم لایه می باشد. واحد Erdt شامل توف با میان لایه های کنگلومرائی (دارای قلوه های آندزیتی) و ماسه سنگ دانه ریز است. واحد Edca بطور غالب شامل توف های داسیتی و آگلومرائی است. فوقانی ترین لایه های سنگهای آذر آواری ائوسن در ورقه جبال بارز در قسمت شمال شرقی روستای آب میس رخنمون پیدا کرده اند. که قابل تقسیم به سه عضو می باشد. بخش پائینی غالباً توف داسیتی همراه با آندزیت و

ریولیت است که در بعضی جاها چند لایه نازک آهک نیز از آن مشاهده می‌شود. بخش میانی (Eta3) شامل توف و آگلومرا است که بعضًا در افق‌های پائینی دارای گدازه بوده و در بخش‌های بالائی از جنس توف، خاکستر و کنگلومرا است. Eta3 بطور کامل توسط لایه‌های کنگلومرا و ماسه‌سنگ پوشیده شده است. رنگ قرمز کنگلومرا راهنمای خوبی در منطقه می‌باشد.

توده‌های نفوذی محدوده مورد مطالعه:

توده بزرگی از گرانیت و گرانودیوریت دارای ترکیب و بافتی متفاوت در نقاط مختلف است که در جنوب شرق و جنوب ورقه رخنمون دارد. کانیهای ثانویه در این توده غالباً تورمالین و اکسید آهن می‌باشد. به سمت شرق در بعضی نقاط، گرانیت به گرانودیوریت، کوارتز دیوریت، تونالیت و کوارتز مونزونیت تبدیل می‌شود. تمامی توده‌های نفوذی فوق به نظر می‌رسد خیلی به یکدیگر وابسته هستند و سنگهای داسیتی احتمالاً جوانترین فاز این ولکانیسم و پلوتونیسم هستند. با در نظر گرفتن اینکه توده جبال بارز، سنگهای آذرآواری ائوسن را قطع کرده است، احتمالاً سن این توده متعلق به بعد از ائوسن می‌باشد.

تعداد نسبتاً زیادی دایک با جنس دیاباز، پیروکسن دیاباز، دیوریت - میکروغرانودیوریت و گرانیت آلکالن، سری‌های آذرآواری و توده‌های نفوذی را قطع کرده‌اند. دایکها بطور عمده در بخش باختری و خاوری توده جبال بارز تمرکز پیدا کرده‌اند.

واحدهای زمین‌شناسی جوان:

جریانات گدازه‌های به جنس بازالت‌های جوان در بخش شرقی کوه تبارکان رخنمون خوبی دارند. در دره‌بند نسا، گدازه‌های مورد بحث، حتی رسوبات کواترنری را نیز پوشانده‌اند. در جنوب شرق انجیرک، گدازه‌های ریولیتی بصورت ناپیوسته، لایه‌های ائوسن را می‌پوشانند. در بخش شمال خاوری کوه تبارکان، نزدیک رودخانه چله‌خان، چندین صدمتر از ماسه‌سنگ، سیلت استون و گل سنگ‌های قرمز رنگ و زیپس رخنمون دارند. در اطراف روستای کهنوج و باع بالا، مارن گچ دار قرمز کمرنگ مایل به زرد بصورت ناپیوسته، واحدهای مربوط به

ائوسن را می‌پوشاند. در روستای مردان در منطقه اطراف کوه سرخ، یک واحد کنگلومراتی نامستحکم حاوی قلوه‌های ولکانیکی بصورت ناپیوسته لایه‌های قدیمی را می‌پوشاند. رسوبات کواترنر، منطقه وسیعی را در بخش شمال - شمال شرق ورقه می‌پوشانند. در این رسوبات دو بخش قابل تشخیص است. پهنه‌های شنی قدیمی و جدید، رسوبات قدیمی‌تر، ماتریکس رسی داشته و قلوه سنگهای آنها غالباً از نوع آذرین نفوذی و آذرآواری‌های مربوط به بلندیهای اطراف هستند. واحدهای تراورتنی هم در نزدیکی روستای جوزکرو همچنین در حدود ۱۰ کیلومتری خاور روستای سلاخ، رخنمون خوبی دارند و به نظر می‌رسد در اثر نفوذ محلولها و رسوبگذاری آنها در امتداد گسلها تشکیل شده باشند. در بعضی نقاط مرمرهای زردزنگ آراغونیتی نیز تشکیل شده‌اند.

بررسیهای مغناطیسی در ورقه جبال بارز:

در ورقه جبال بارز سعی بر تفسیر پروفیل‌های منطقه شد. در این تفسیر پروفیلهای هر خط مورد مطالعه قرار گرفتند. ۳۸ خط در شکل شماره یک نشان داده شده است. تفسیر پروفیلهای منطقه این امکان را می‌دهد تا بدون در اختیار داشتن grid ناحیه بتوان آنومالی‌های موجود را شناسائی نمود. در هر نمودار سه منحنی به ترتیب برگردان به قطب، مشتق اول، گسترش به طرف بالا با سه رنگ سبز، قرمز، آبی نشان داده شده‌اند. در ذیل به شرح هر خط می‌پردازیم:

خط L1: گستردنگی آنومالی از ۱۷/۳۶ تا ۳۹۴۸۹/۳۶ نانوتسلا می‌باشد و پیک (قله) آن حداقل ۳۹۶۲۳/۷۴ نانوتسلا است. در اینجا منظور از گستردنگی وسعت و کشیدگی آنومالی بطور عرضی می‌باشد. مقدار مشاهده شده در $d_1 = ۰/۰۰۷۵۴$ در $۳۹۳۸۲/۵۹$ Upward است. حداقل مقدار مشاهده شده در مشتق اول در خط L1، $۱/۰$ می‌باشد این آنومالی با شماره A نامگذاری شده است. که موقعیت آن در شکل ۱ نشان داده شده است.

خط L2: میدان مغناطیسی بر روی سه نقطه دارای Peak می‌باشد که در قسمت جنوب ناحیه واقع شده‌اند. و حداقل آن $۳۹۶۱/۰$ نانوتسلا می‌باشد، توده C با اعمال مشتق، شدت بالای $۱/۰$ را از خود نشان داده است.

خط L3: حداقل مقدار متعلق به توده C ۳۹۶۳ نانوتسلا و مقدار مشتق اول $۱۹۲۵۷/۰$ متعلق به توده B می‌باشد. موقعیت توده C و B در شکل ۱ نشان داده شده است.

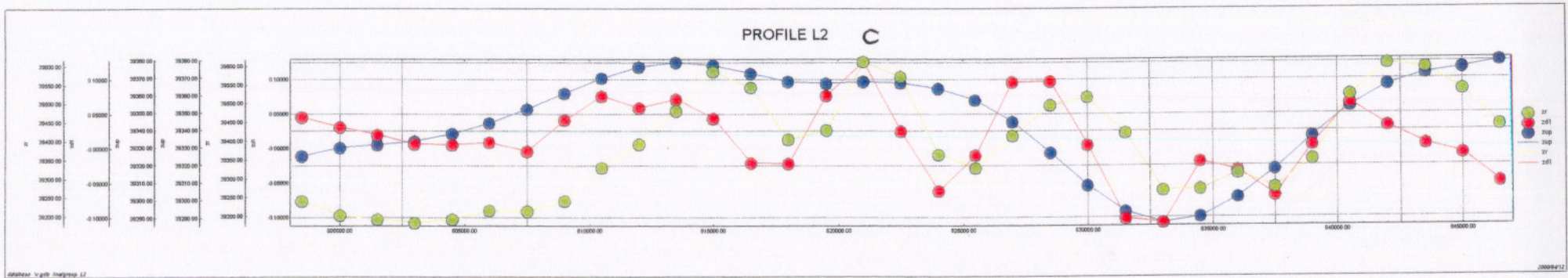
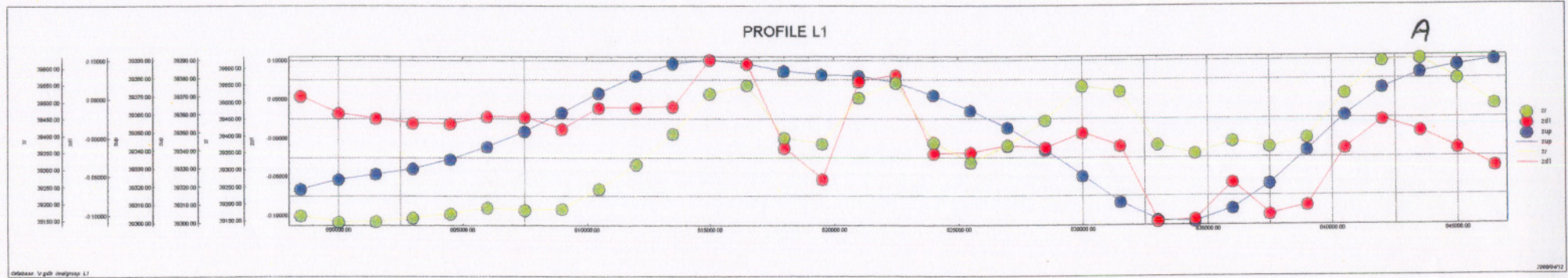
خط L4: توده A در خط چهارم، اثر خود را کاملاً از دست داده است و حداقل شدت آن در خط اول با مقدار $۳۹۶۲۳/۷۴$ نانوتسلا با وسعت ۵۰۰ متر و در مختصات ۶۴۵۰۰۰ تا ۶۴۰۰۰۰ قرار دارد. و حداقل شدت توده B $۳۹۷۵۶/۵۶$ nt/m و مقدار $d_1 = ۰/۱۸۹۳۹$ nt/m می‌باشد.

خط L5: توده B با مقدار $۱۲/۱۵$ نانوتسلا و $d_1 = ۰/۱۵۴۳۰$ nt/m می‌باشد.

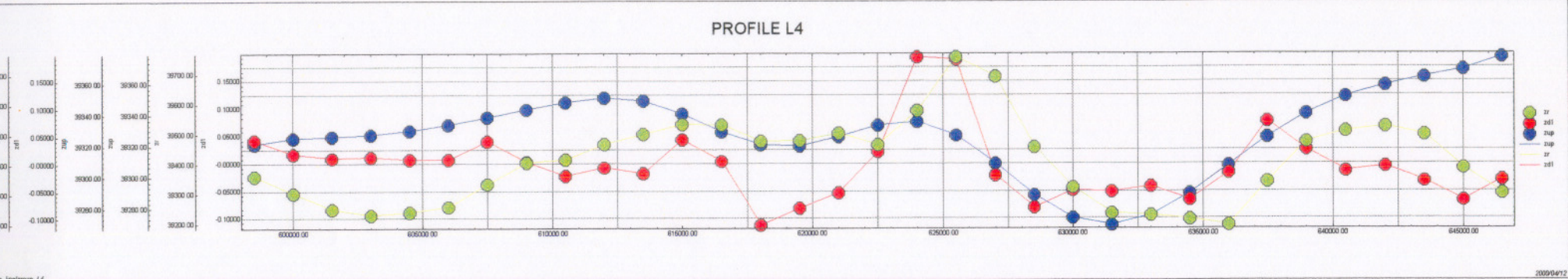
خط L6: توده B با مقدار $۳۹۸۲۹/۰$ نانوتسلا و $d_1 = ۰/۱۳۶۶۲$ می‌باشد.

خط L7: مقدار مشتق اول $۲۳۲۹۸/۰$ نانوتسلا بر متر متعلق به توده E می‌باشد.

خط L8: تقریباً اثر توده B تضعیف گشته است، در نتیجه مقدار ماکزیمم آن $۳۹۸۱۵/۲$ نانوتسلا می‌باشد. و



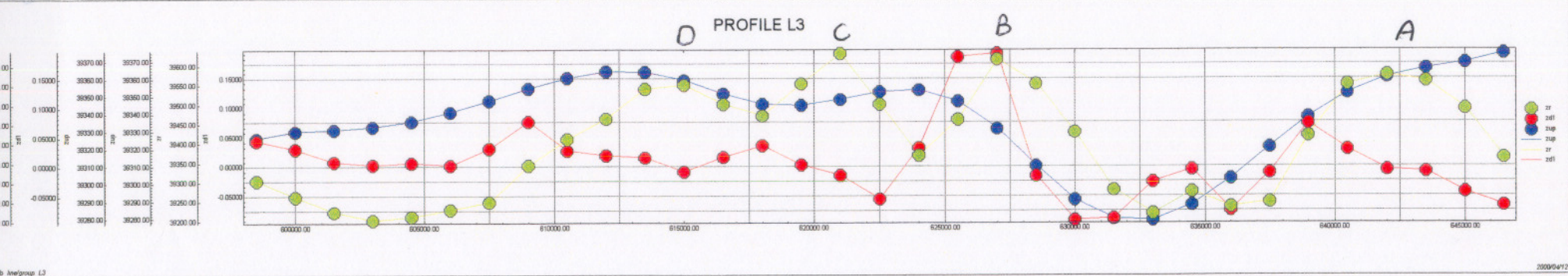
PROFILE L4



b\linegroup L4

200904712

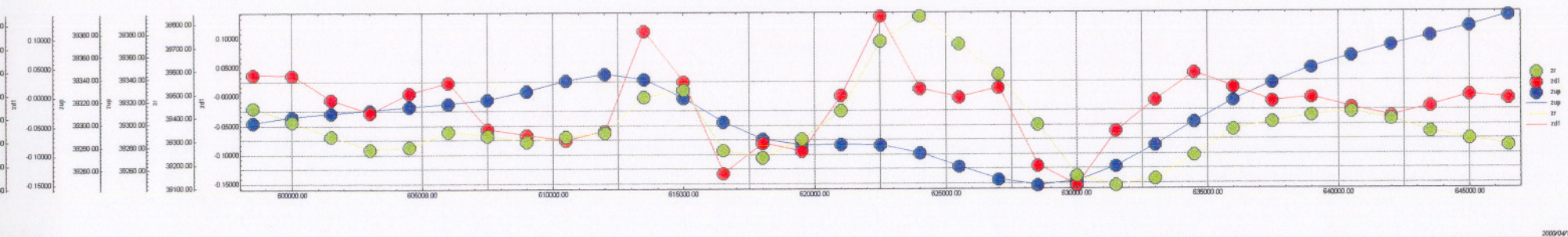
PROFILE L3



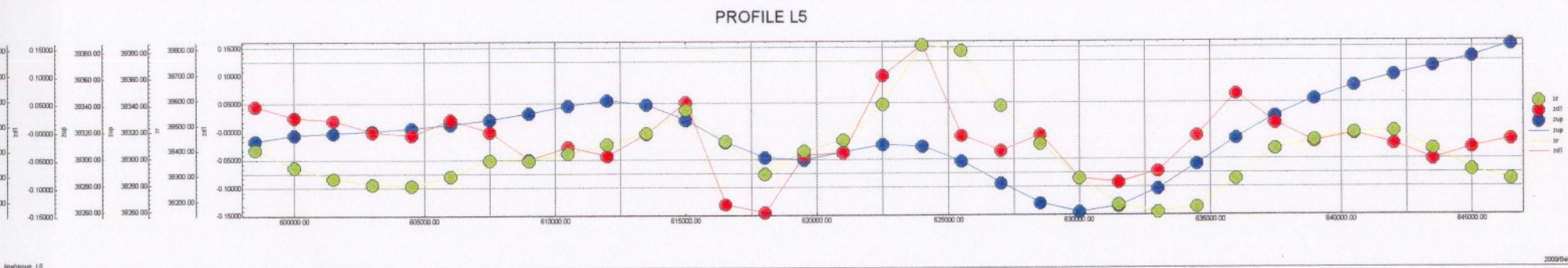
b\linegroup L3

200904712

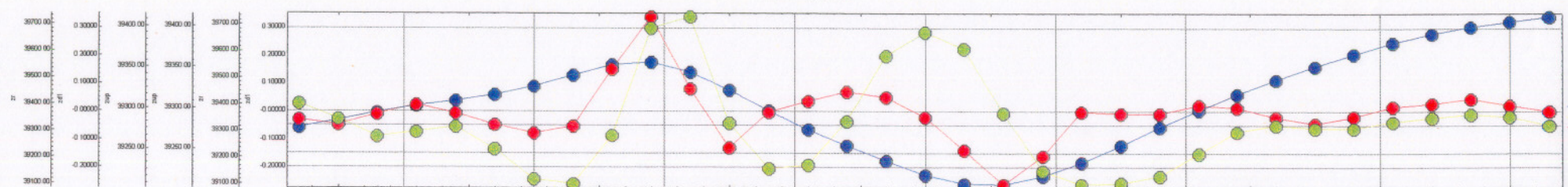
PROFILE L6



PROFILE L5



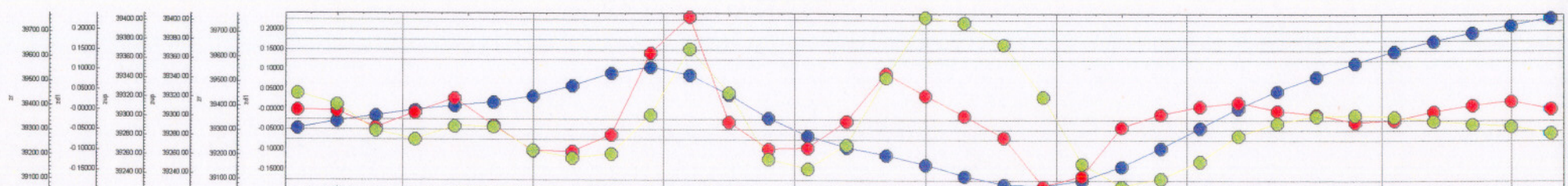
PROFILE L8



database_V.gdb.lnw/group_L8

200904

PROFILE L7



database_V.gdb.lnw/group_L7

200904

در این خط مقدار $d1 = ۰/۳۴۰$ متعلق به توده E (قسمت جنوب آن) در شمال شرقی منطقه رسوبات کواترنر قرار گرفته‌اند، در این ناحیه شدت متوسط مغناطیسی مشاهده می‌شود لذا در زیر این رسوبات احتمالاً توده مغناطیسی مدفون می‌باشد. شایان ذکر است که تمامی رسوبات در شمال ناحیه از شدت متوسط مغناطیسی برخوردار نیستند و توسط مرزی شارپ که در نقشه شماره یک دیده می‌شود این شدت از بین می‌رود. لذا احتمالاً نوع رسوبات و سن آنها از یکدیگر متمایز می‌باشد.

خط L9: حداکثر مقدار توده $d1 = ۰/۲۹۸۴۴$ nt/m نانوتسلا و $E = ۳۹۸۱۵/۹۸$ می‌باشد، افت منحنی قرمز در نقطه $d1 = ۰/۳۵۲۰۹$ و در مختصات $622500/00$ نشانه یک عارضه مثل خطواره یا گسل است، که در این نقطه خطواره ۱۳۲/۸ قرار گرفته است.

از خط نهم به بعد بر شدت بی‌هنچاریها در مشتق اول افزوده می‌گردد و در خط دهم در ضلع غربی توده E مقدار $d1 = ۰/۲۶۶۱۹$ nt/m می‌باشد.

خط L11: منحنی آبی رنگ، آنومالیهای نشان داده شده در منحنی سبز رنگ را تبدیل به یک آنومالی کرده است و مقدار پائین $۰/۲۹۱۱۰$ که بر روی همان خطواره واقع شده است.

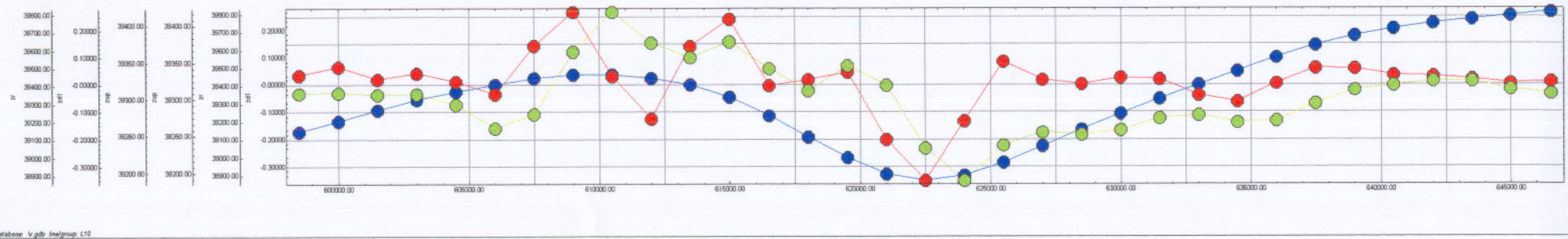
خط L12: افت شدید $d1 = ۰/۲۱۹۲۶$ تا $۰/۲۱۲۶$ را داریم که بر روی خطواره ۱۴۳/۱ واقع شده است و حداکثر مقدار ۳۹۷۷۴ متعلق به غرب توده E می‌باشد.

خط L13: از روی تغییرات منحنی قرمز رنگ چهار توده نشان داده می‌شوند که دو تا از آنها تحت پوشش منحنی سبز هستند (توده E) و یکی دیگر که از شدت پائینی برخوردار است (در نقشه شماره یک) در اینجا شدت بالائی را از خود نشان داده است (توده F)

خط L14: توده سطحی توسط منحنی قرمز نشان داده شده است که در شکل کلی شدت پائینی را دارا است. شدت توده E در خط چهاردهم متوقف می‌شود یعنی اثر این توده تا این خط وجود دارد. اما در نقشه شماره یک وسعت آن بیشتر می‌باشد.

خط L15: توده کم شدت F1 در منحنی قرمز رنگ دارای Peak می‌باشد، و سطحی بودن این توده مشخص شده است.

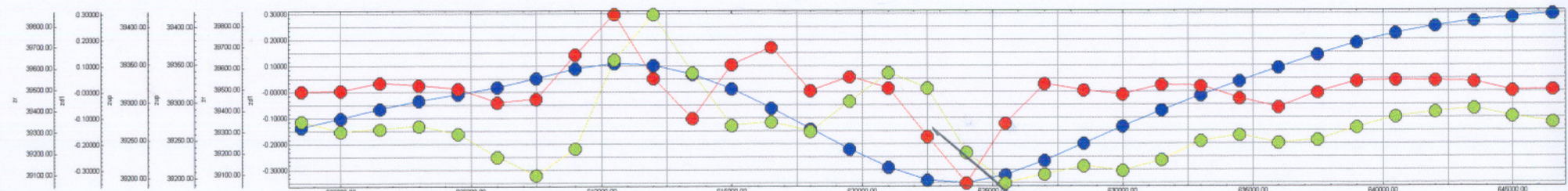
PROFILE L10



database_V.gdb.lnw/group_L10

20090

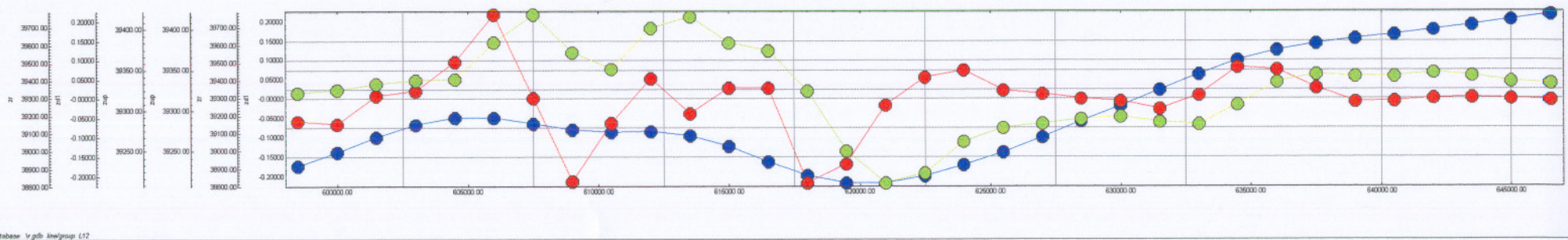
PROFILE L9



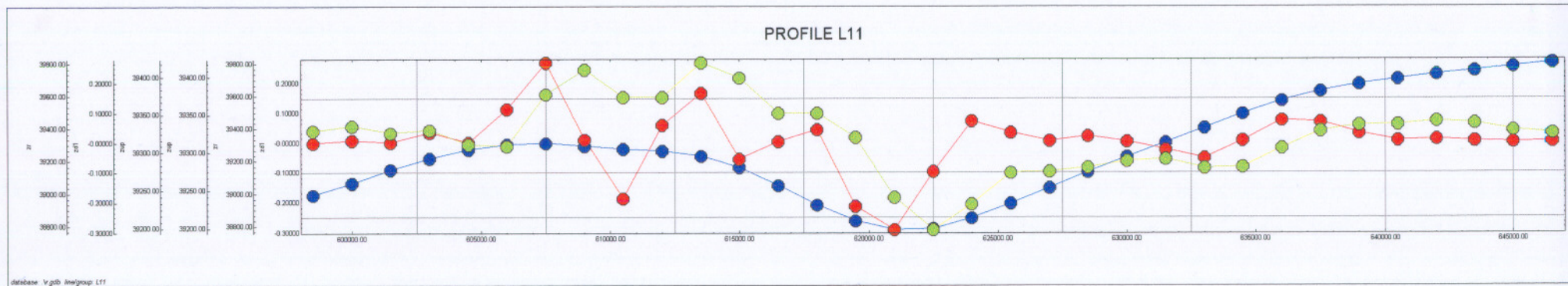
database_V.gdb.lnw/group_L9

20090

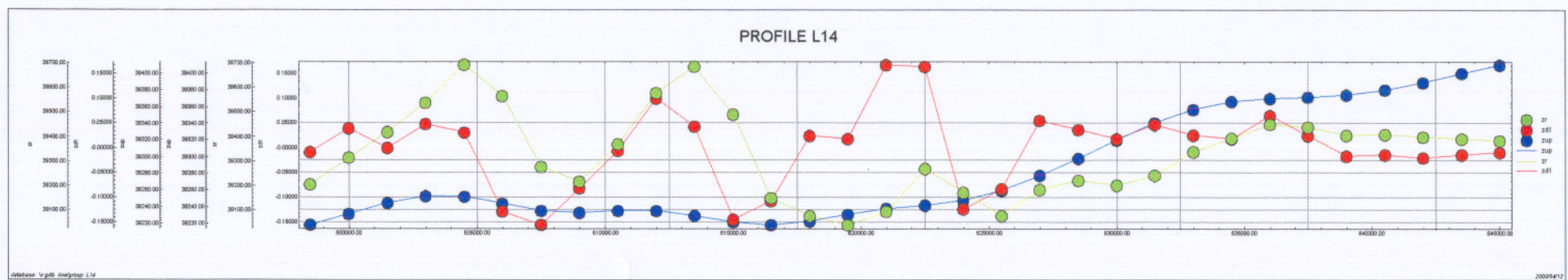
PROFILE L12



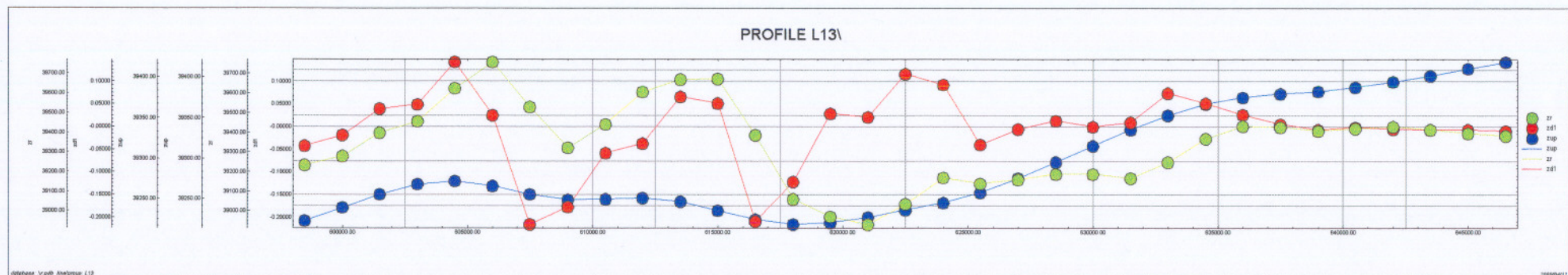
PROFILE L11



PROFILE L14



PROFILE L13\



خط L16: توده G با شدت ۳۹۶۰۴/۹۴ نانوتسلا مشخص شده و مقدار حداکثر $d1=0$ افقهای

شدید در منحنی قرمز رنگ نشانه وجود گسل در ناحیه می باشد.

خط L17: بر شدت توده G افزوده گشته و مقدار آن به ۳۹۶۷۱ نانوتسلا رسیده است که درست مرکز

آنمالی می باشد. و توده H که مقدار فوق العاده پائینی را دارد، دارای مقدار $d1=0/14943$ می باشد که سطحی

بودن توده نشان داده شده است. عدم تطابق شدت توده در مشتق اول و برگردان به قطب نشانگر سطحی بودن

توده است که در نقشه برگردان به قطب این توده تحت تاثیر اطراف بوده و مقدار شدت طبیعی خود را با اعمال

مشتق اول قائم نشان داده است.

خط L18: حداکثر مقدار توده G ۳۹۶۳/۹۲ و حداکثر مقدار $d1=0/017107$ در لبه شمال غربی H که مقدار

شدت پائین ۳۹۱۷۲/۶۶ نانوتسلا را دارد.

خط L19: توده G دیگر محدوده شده و وسعت آن تا خط هجدهم می باشد. آنمالیهای مشخص شده در

منحنی سبز رنگ، تمامی در منحنی آبی یکی شده اند. این یکی شدن را می توان با عمل فیلتر گسترش به طرف

بالا که منحنی ها را هموار می کند و فرکانسهای بالا را حذف می کند توجیه نمود و همچنین می توان با یکی بودن

منبع آنمالی در عمق همین امر را توجیه کرد.

خط L20: مقدار $d1=0/16742$ متعلق به توده A است که شدت نسبی را از خود نشان داده است.

خط L21: در مقدار پائین ۳۹۱۰۶/۳۲ نانوتسلا مقدار $d1=0/11566$ را داریم. در این خط مقدار

$d1=0/11546$ متعلق به توده L را داریم این دو توده احتمالاً یکی بوده اند و در اثر یک گسل از یکدیگر جدا

شده اند و این خطواره باید در جهت عمود عمل کرده باشد. در همین ناحیه بعد از انجام فیلتراسیونهای مختلف

و تعیین خطواره، خطواره $43/8$ در این مختصات قرار گرفته است.

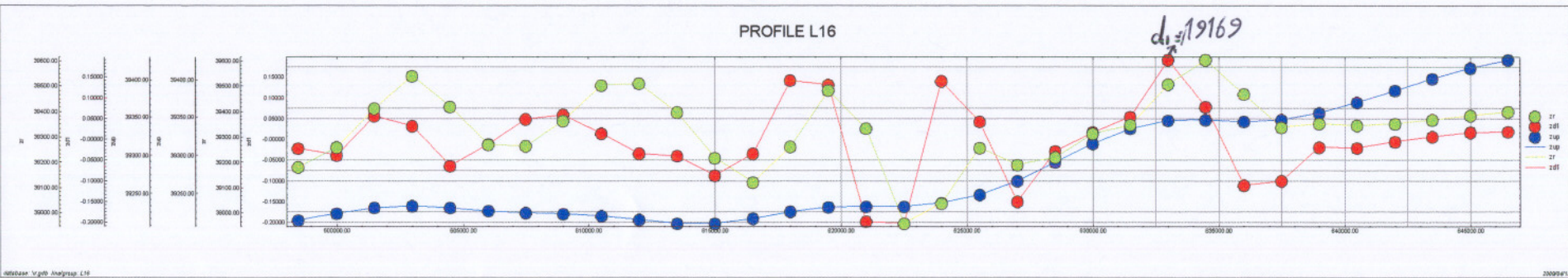
خط L23: شروع توده K از این خط با شدت $0/03$ نانوتسلا و $d1=0/19874$ می باشد.

خط L25: شدت توده K به $77/77$ نانوتسلا رسیده است. وسعت توده K تا خط بیست و هفتم

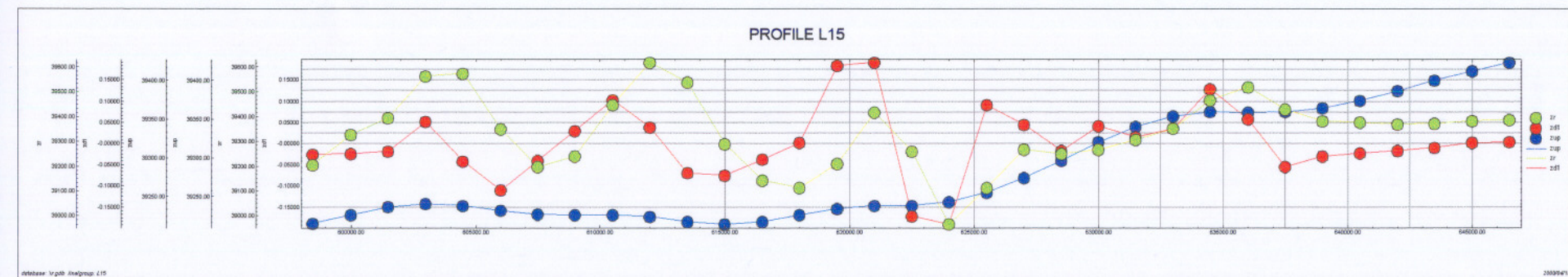
می باشد و اثر آن در خطوط بعدی کم می شود.

خط L29: توده L با مقدار 39219 نانوتسلا و $d1=0/1137$ شناسائی شده است این توده در لبه جنوبی

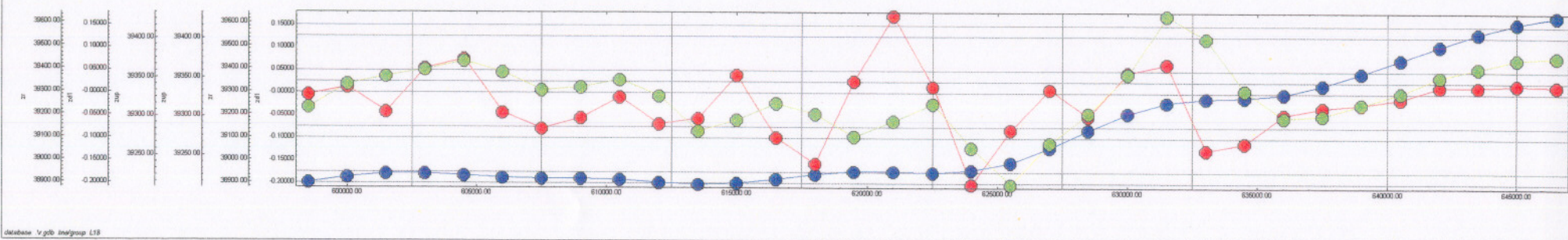
PROFILE L16

d₁ = 19169

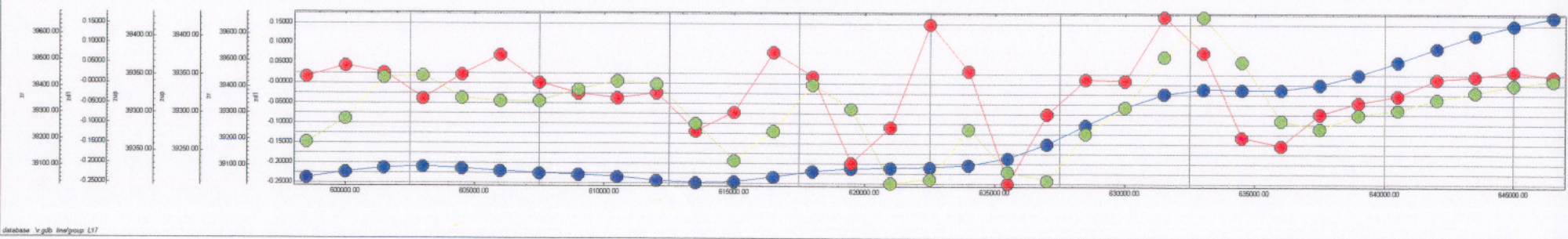
PROFILE L15



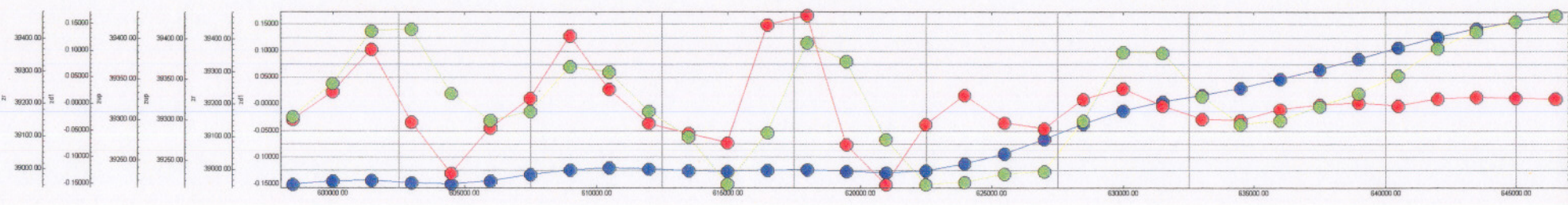
PROFILE L18



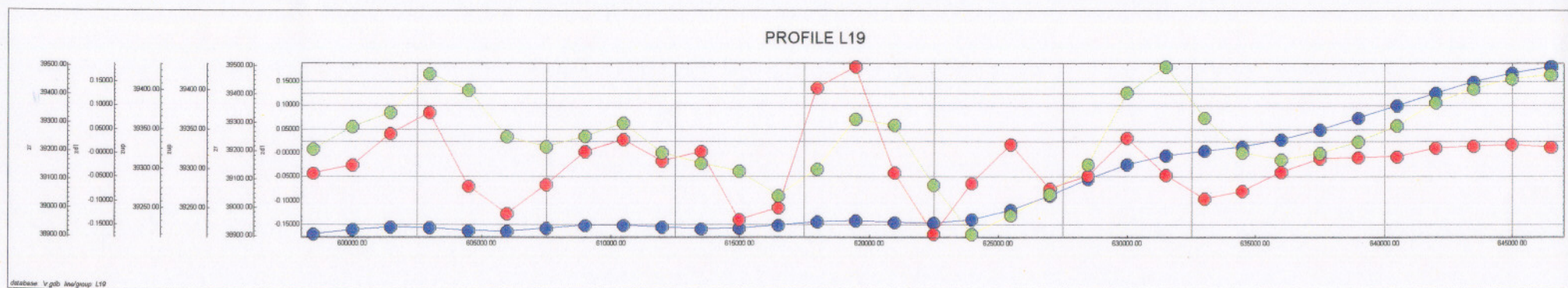
PROFILE L17



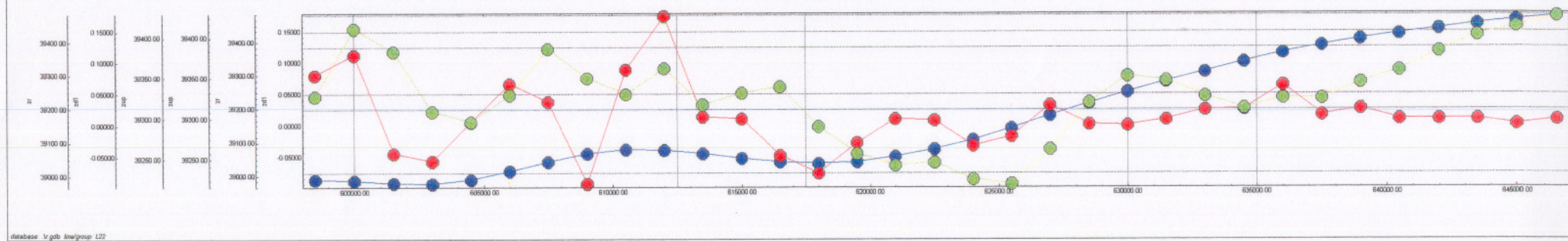
PROFILE L20



PROFILE L19

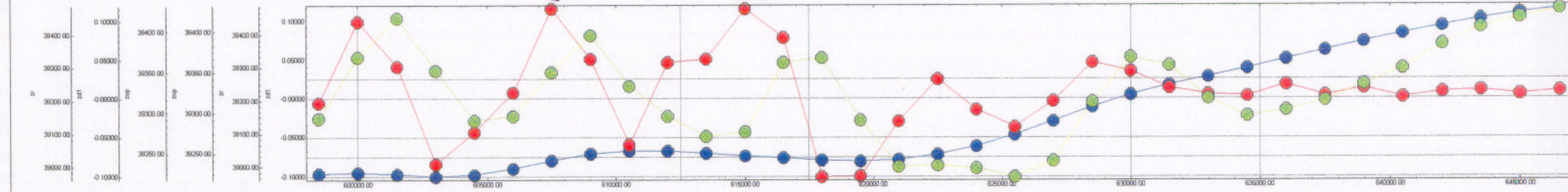


PROFILE L22



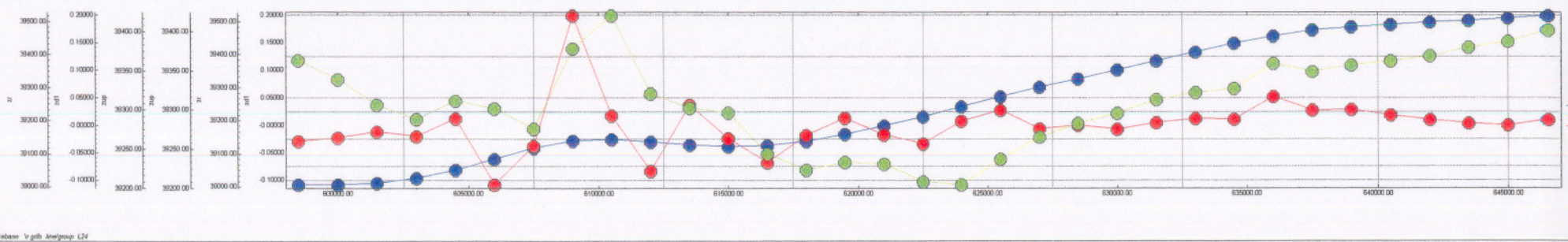
database Vgdb.lnw/group L22

111566 PROFILE L21



database Vgdb.lnw/group L25

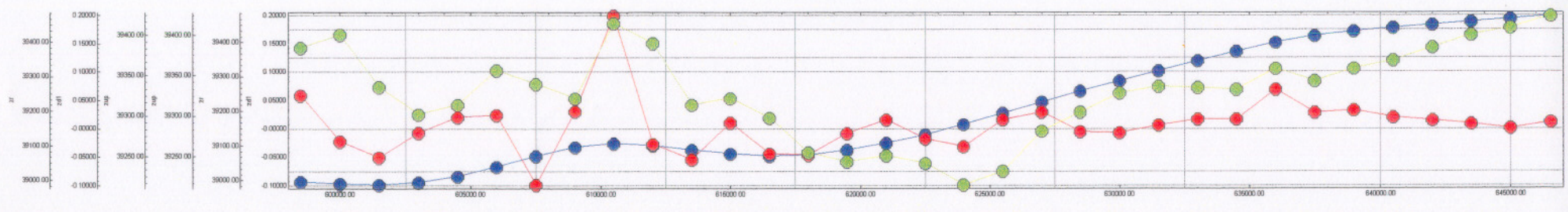
PROFILE L24



database tr_gdb_lowgroup_L24

200904

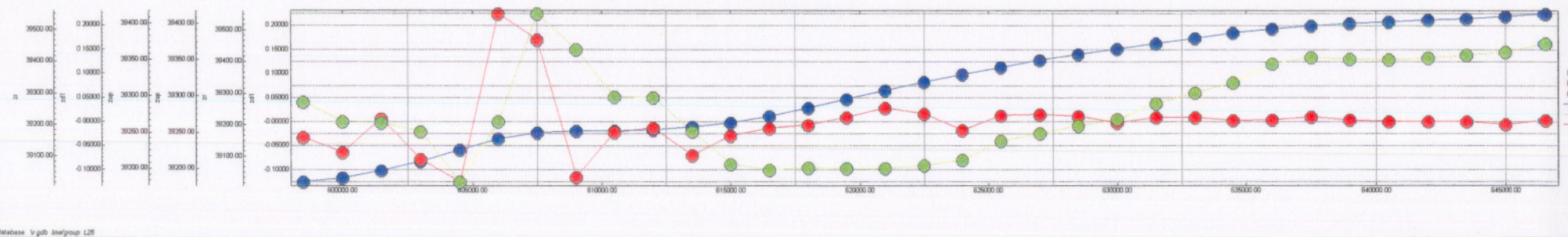
PROFILE L23



database tr_gdb_lowgroup_L23

200904

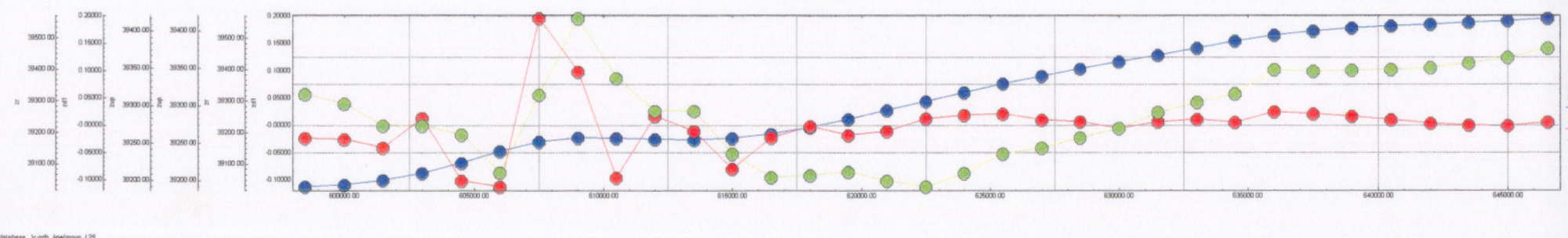
PROFILE L26



database V.gdb lastgroup L26

20096

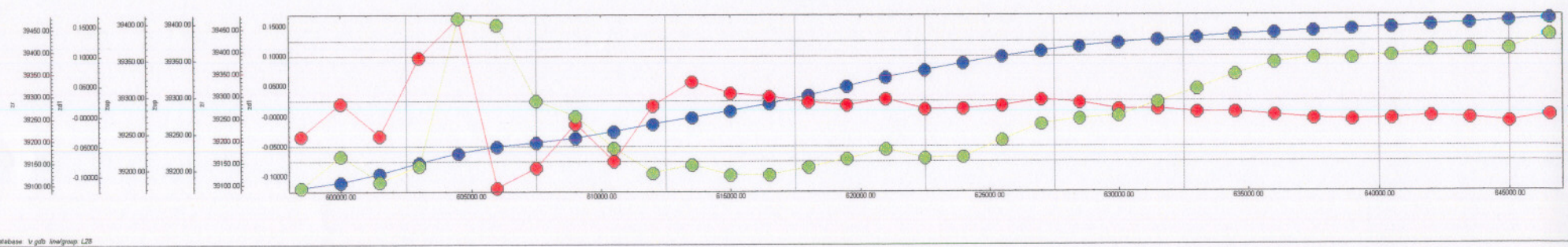
PROFILE L25



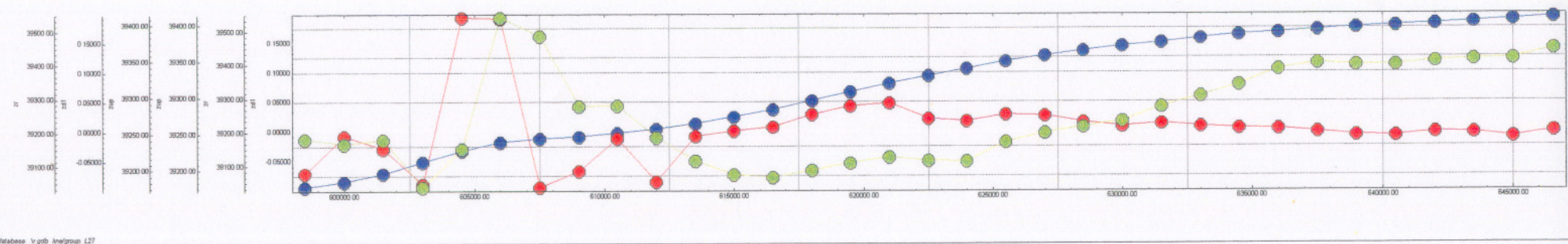
database V.gdb lastgroup L25

20096

PROFILE L28



PROFILE L27



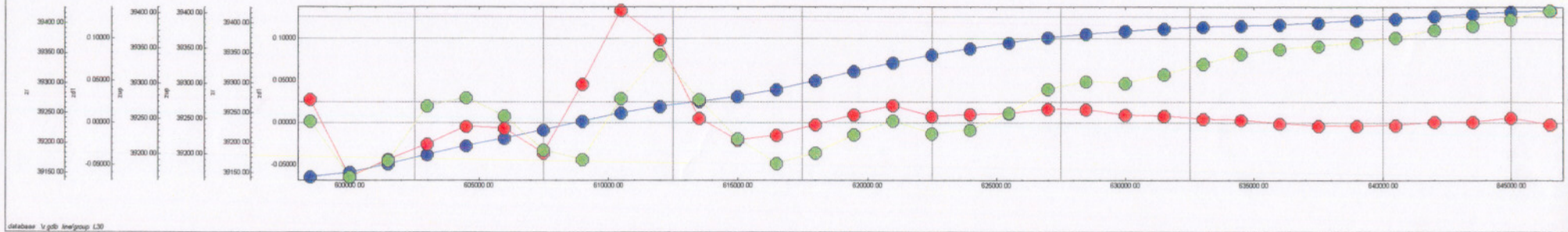
بی هنجاری با شدت نسبی در نقشه شماره یک قرار گرفته است که با انجام فیلتراسیون گسترش به طرف پائین و مشتق دوم بر شدت آن افزوده شده است و این توده که در قسمت شمال غربی قرار گرفته است، در بین خطوط راه های ۱۳۳/۱ و ۱۲۷/۶ و ۱۲۰/۳ واقع شده است. این ناحیه نیاز به کنترل زمینی بیشتر دارد. به علت اینکه داده ها با خطوط پرواز ۷/۵ کیلومتر می باشند. نمی توان با قاطعیت این ناحیه را معرفی نمود ولی احتمالاً این ناحیه منشاء بی هنجاری در ورقه می باشد.

خط L30 : به وسعت و شدت توده L افزوده شده است و مقدار آن به ۳۹۲۷۴/۶۸ نانوتسلا و $d_1 = ۰/۱۳۳۰۴$ رسیده است از خط سی ام تا سی و هشتم بی هنجاری با شدت بالا رویت نمی شود. تقریباً منحنی قرمز و آبی در حال منطبق شدن با یکدیگر می باشند و بصورت پراکنده شدت نسبی از منحنی قرمز رنگ دیده می شود و Peak های نه چندان شارپی ملاحظه می گردد.

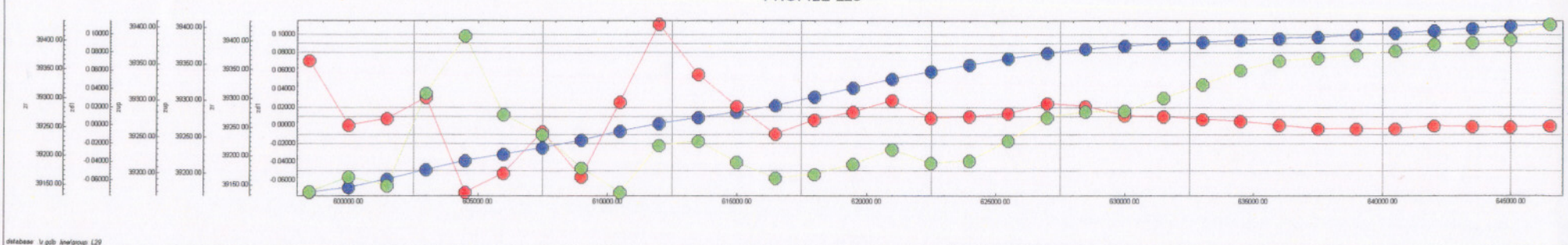
نقاط بدست آمده نتایج حاصل از بررسی خط به خط پروفیل های منطقه می باشند (محل خطوط در نقشه شماره یک نشان داده شده است).

برای کنترل آنها، مقایسه ای بین نتایج حاصل با نقشه های مختلف مغناطیسی صورت گرفت.
در اینجا به بررسی توده های بدست آمده از بررسی پروفیلها و نیز توده های جدید می پردازیم :

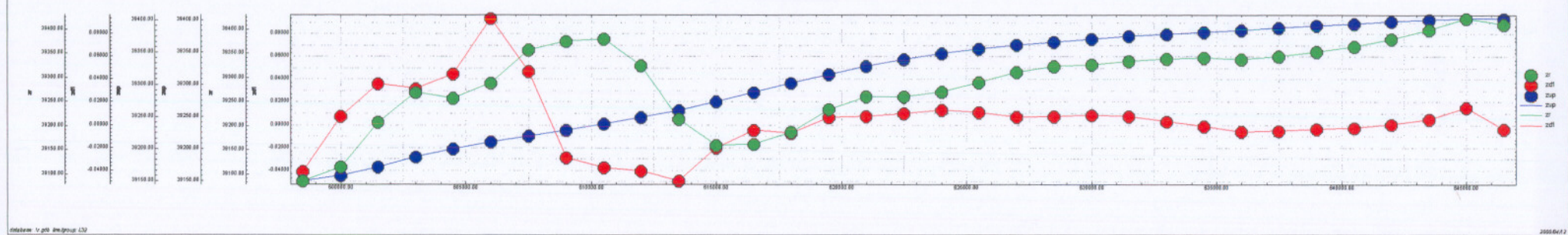
PROFILE L30



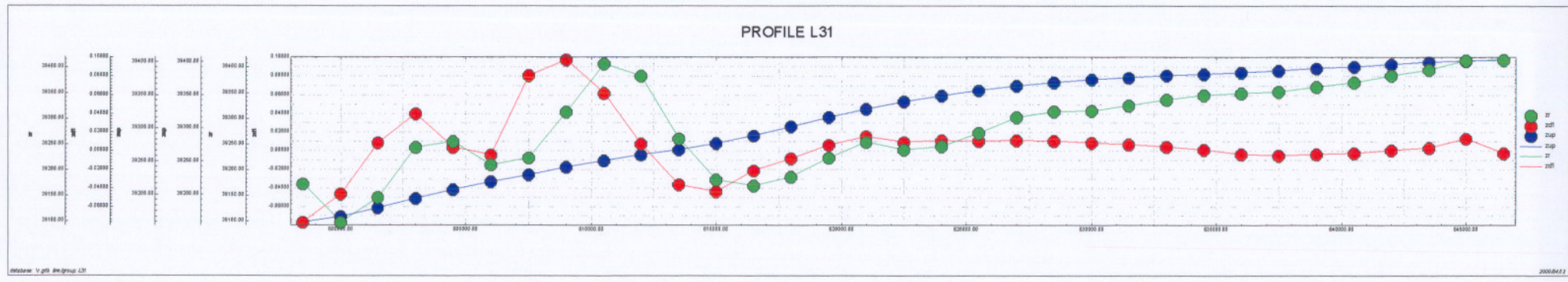
PROFILE L29



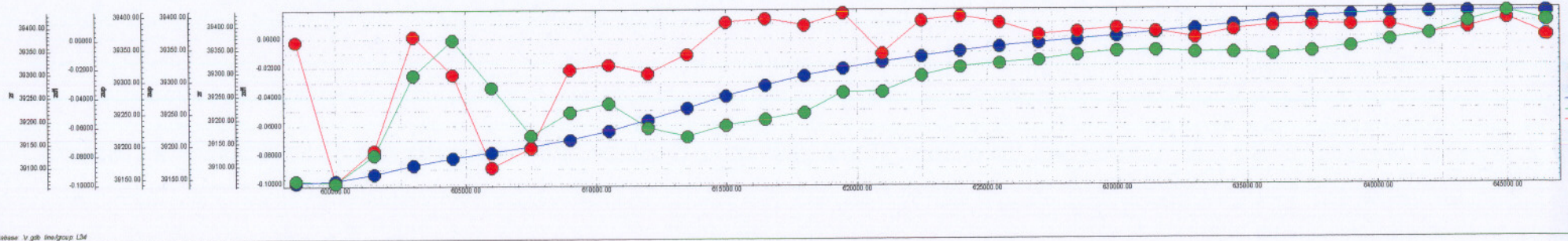
PROFILE L32



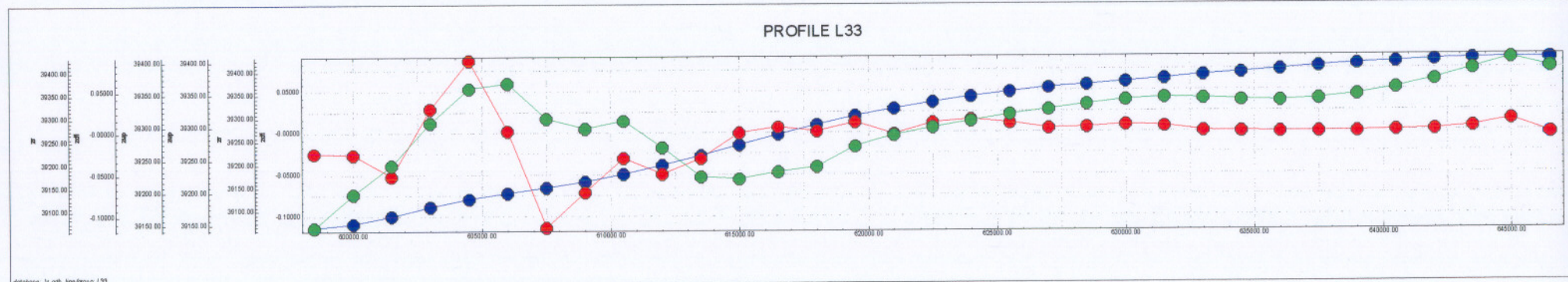
PROFILE L31

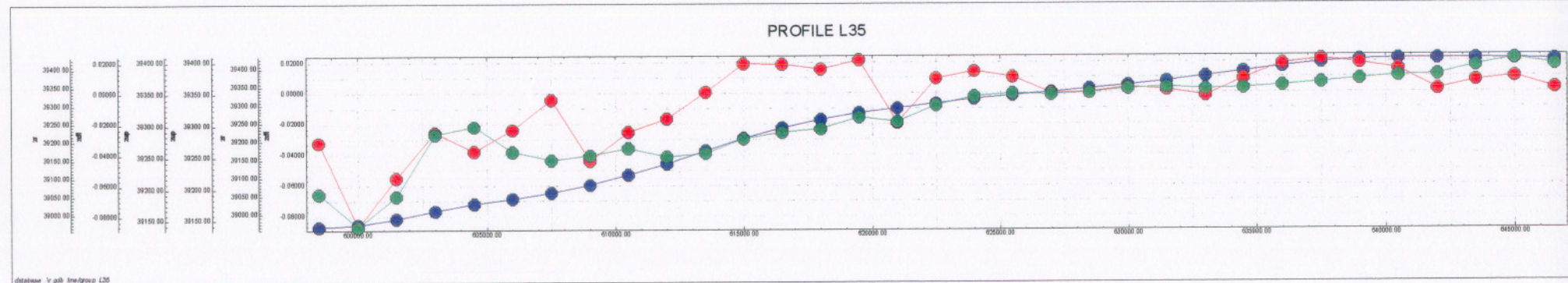
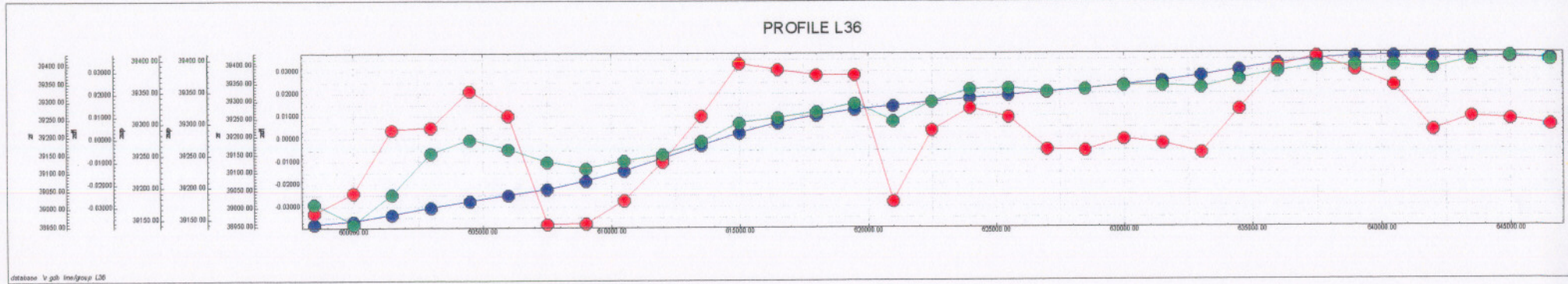


PROFILE L34

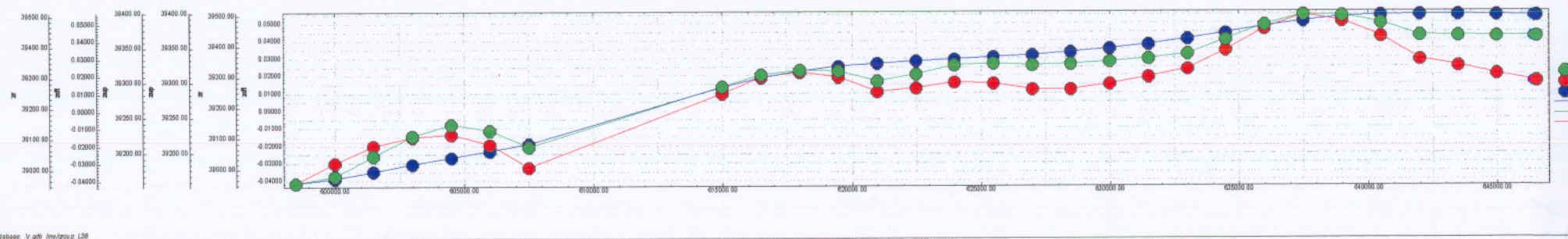


PROFILE L33

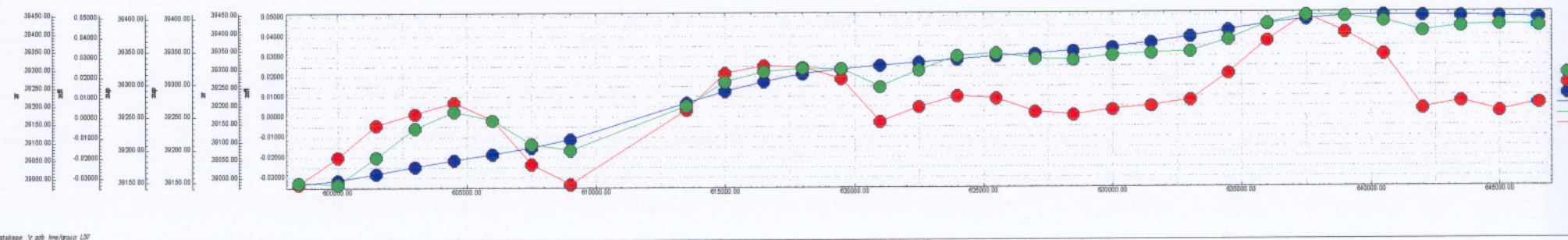




PROFILE L38



PROFILE L37



نقشه شماره یک :

نقشه شماره یک، نقشه RTP یا برگردن به قطب می‌باشد. این فیلتر به نوعی تعبیر و تفسیر را آسانتر می‌سازد. چرا که میدان مغناطیسی را از عرض مغناطیسی جایی که میدان زمین شیب دارد به میدان در قطب مغناطیسی جایی که میدان قائم است، انتقال می‌دهد. در این حالت بی‌هنگاری درست در بالای منبع خود قرار می‌گیرد. مقدار انحراف و میل مغناطیسی در منطقه مورد مطالعه به شرح ذیل می‌باشد:

Inclination : 44.408

Declination : 1.823

Flight Height : 4000 m

حداکثر شدت در این نقشه ۳۹۸۵۱/۹۷ نانوتسلا و حداقل ۳۸۷۷۶/۵۵۴ نانوتسلا می‌باشد. روند کلی توده‌ها شمال غرب - جنوب شرق است.

توده‌های K,G,E,D,C,B,A که از بررسی خط به خط پروفیلها بدست آمده‌اند در نقشه شماره یک مشخص شده‌اند. توده A,F1,L از شدت نسبی برخوردار می‌باشند و نیاز به بررسی بیشتر با استفاده از فیلتراسیونهای مختلف دارند. توده H شدت پائینی را از خود نشان داده است که این توده نیز، نیاز به بررسی بیشتر دارد. نقطه L در حاشیه توده‌ای در شمال غرب ورقه با روند شمال غرب - جنوب شرق قرار گرفته است.

بطورکلی منطقه به سه قسمت تقسیم شده است:

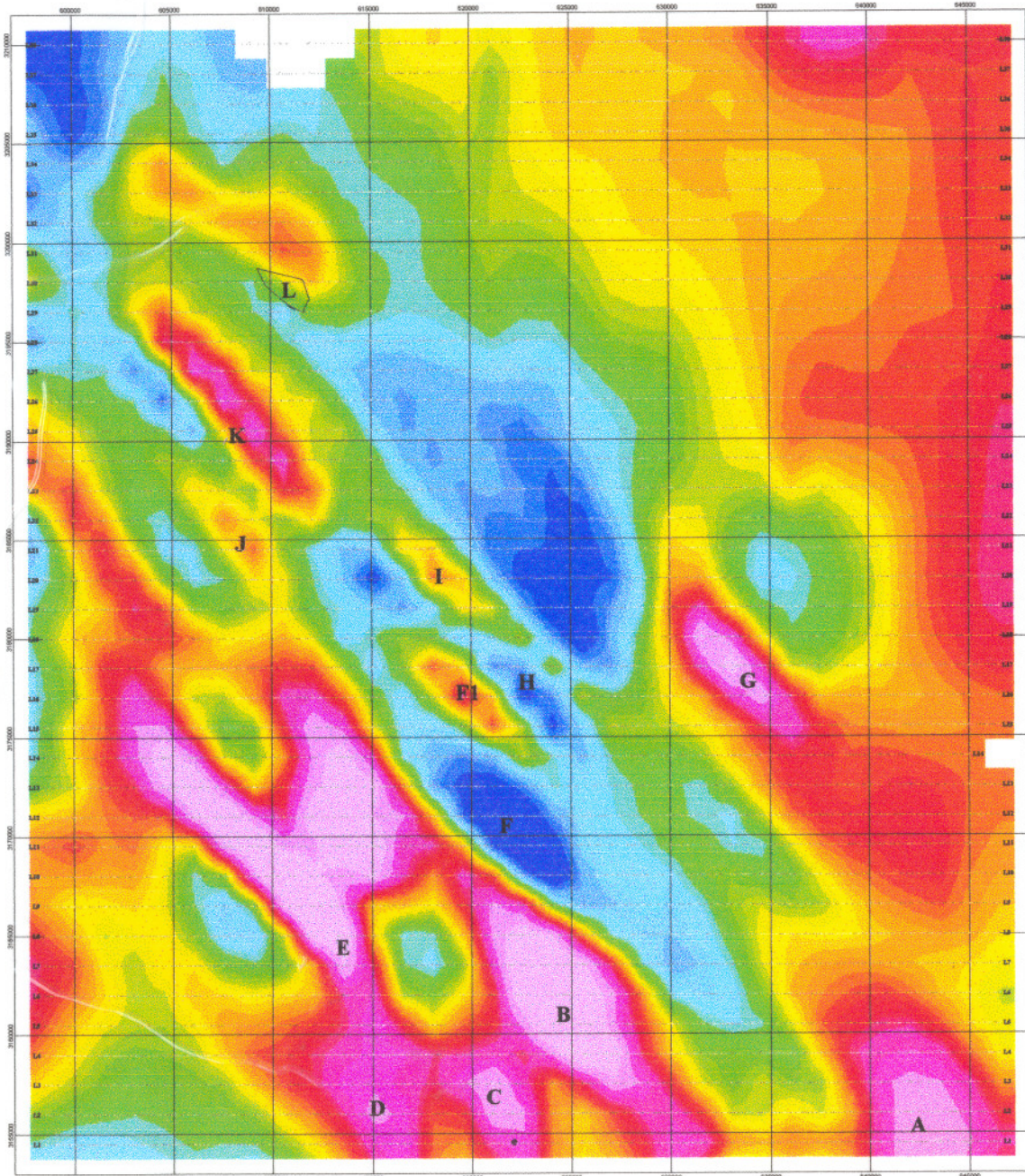
الف - شمال شرق ناحیه با شدت متوسط

ب - قسمت میانی با شدت پائین

ج - قسمت جنوب غربی با شدت بالا

مغناطیس‌های خطی پائین نشانگر خطواره در ناحیه می‌باشند.

AEROMAGNETIC MAP



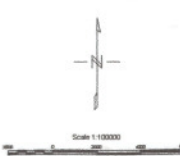
GEOLOGICAL SURVEY OF IRAN

GD GROUP
AREA: JEBALE RABZE

TOTAL MAGNETIC INTENSITY MAP REDUCTION TO POLE

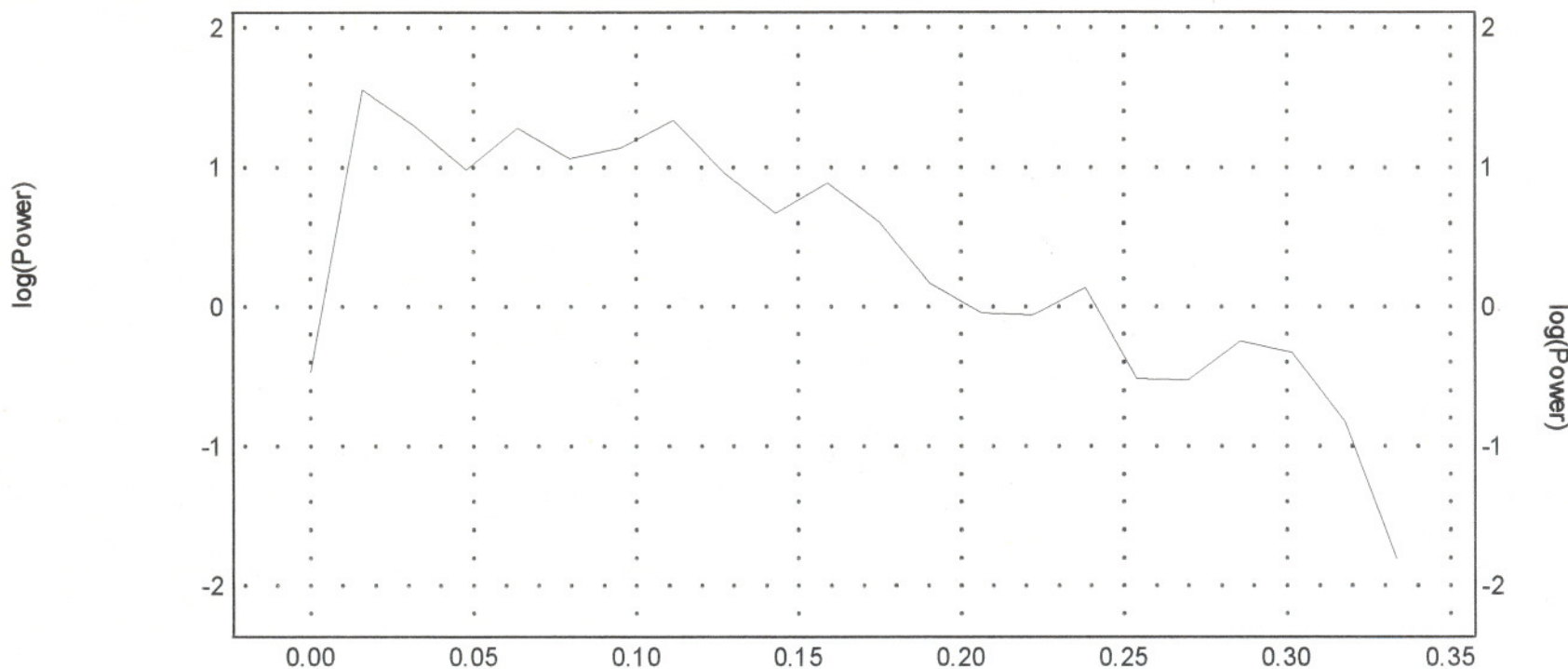
DATE: 1399/02/22

FIG NO:1 PROVIDED BY: MOJDEH HAGHIGHI

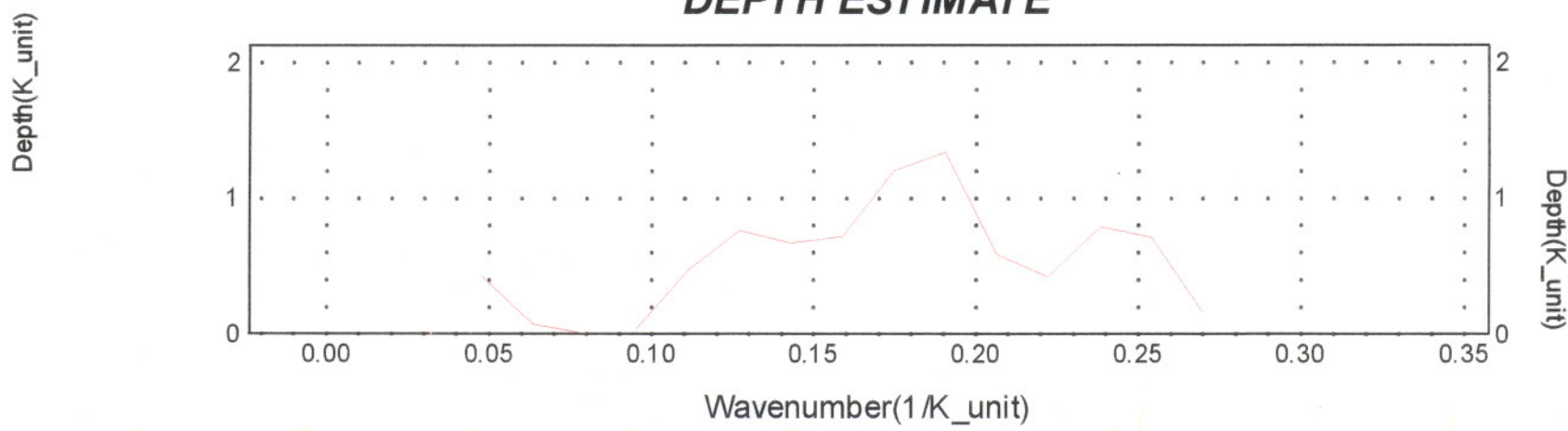


DATA LINE

RADIALLY AVERAGED POWER SPECTRUM



DEPTH ESTIMATE



نقشه شماره دو:

نقشه انطباق برگدان به قطب و زمین‌شناسی ناحیه می‌باشد. بر طبق این نقشه آنومالی شماره A بر روی واحد $g\eta$ گرانیت قرار گرفته است.

آنومالی شماره B بر روی واحد P , Evt , gd که به ترتیب گرانیت، گرانودیوریت - کوارتز دیوریت - ولکانیکهای حدواسط توف که در قسمتی سیلیسی شده، پورفیریت، قرار گرفته است.

آنومالی شماره C و D بر روی واحد $g\eta$ گرانیت، گرانودیوریت، کوارتز دیوریت قرار گرفته است.

آنومالی شماره E بر روی واحد d , Evt , gd گرانیت، گرانودیوریت، کوارتز دیوریت، ولکانیکهای حدواسط - توف، داسیت قرار گرفته است.

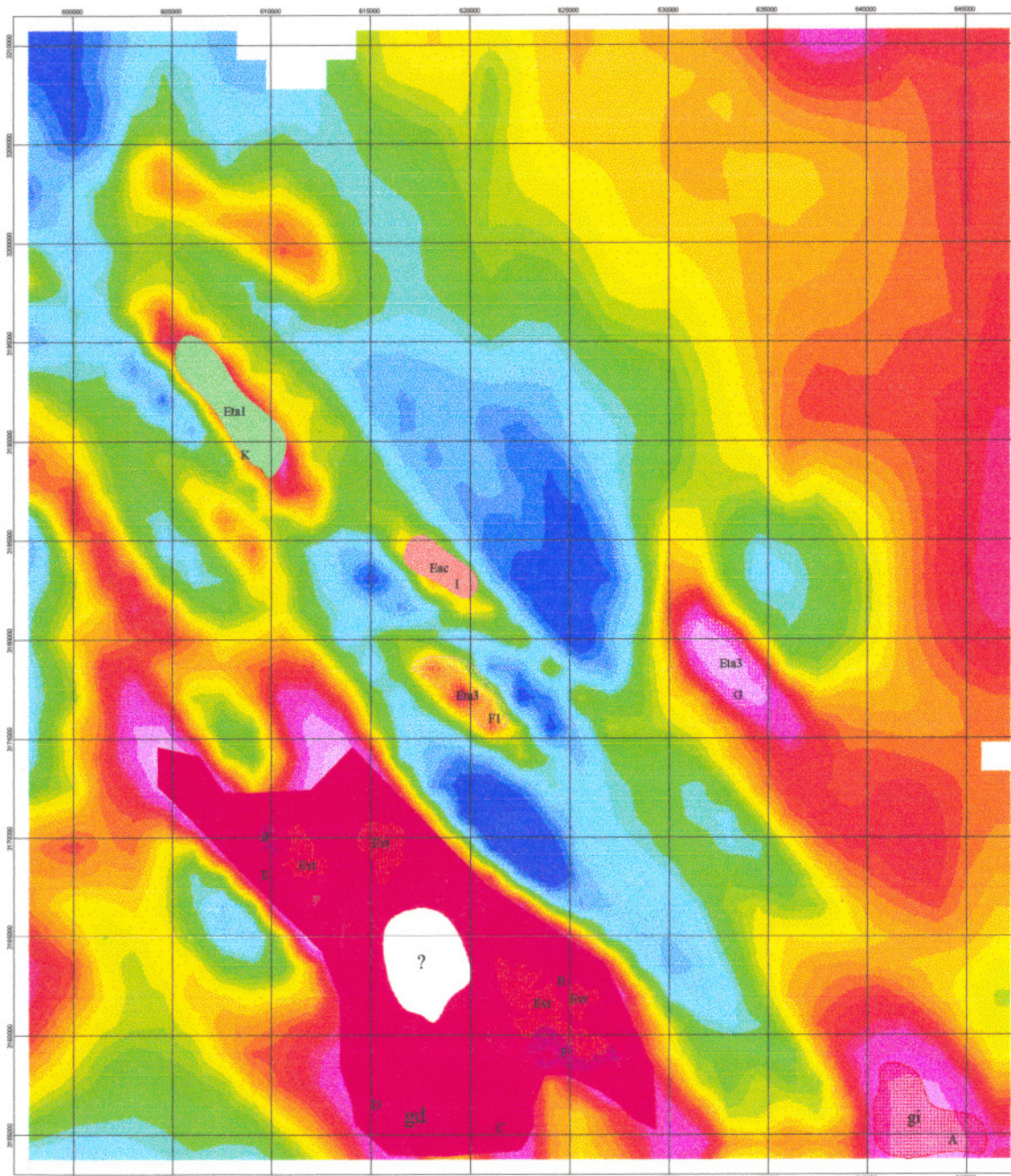
آنومالی شماره F1 بر روی واحد $Eta3$ آگلومرا - خاکستر - توف قرار گرفته است این آنومالی در بین چند واحد زمین‌شناسی واقع شده است ولی احتمالاً ناشی از $Eta3$ می‌باشد.

آنومالی شماره G بر روی واحد $Eta3$ آگلومرا، خاکستر - توف قرار گرفته است.

آنومالی شماره ابر روی واحد Eac آندزیت - داسیت - توف داسیتی به همراه آگلومرا و کنگلومرا واقع شده است.

آنومالی شماره K بر روی واحد $Eta1$ آگلومرا، توف آندزیتی - توف به همراه خاکستر قرار گرفته است. در واحد gd در جنوب نقشه منحنی با رنگ سفید؟ نشان داده است. این ناحیه از نظر شدت مغناطیسی تمایز از واحد gd می‌باشد بطوری که منطقه با مغناطیس فوق العاده پائین و بصورت همگن از واحد gd جدا گشته است. و به نظر می‌رسد نشانگر پدیده‌ای خاص باشد. لذا کنترل زمینی این قسمت پیشنهاد می‌گردد. در شمال شرقی منطقه رسوبات کواترنر قرار گرفته‌اند، در این ناحیه شدت متوسط مغناطیسی مشاهده می‌شود لذا در زیر این رسوبات احتمالاً توده مغناطیسی مدفون می‌باشد. شایان ذکر است که تمامی رسوبات در شمال ناحیه از شدت متوسطی برخوردار نیستند و توسط مرزی شارپ که در نقشه شماره یک دیده می‌شود این شدت از بین می‌رود. لذا احتمالاً نوع رسوبات و سن آنها از یکدیگر تمایز می‌باشد.

AEROMAGNETIC MAP



Eta

Eac

Eto3

Evt

gd

10

BIOLOGICAL SURVEY OF

OBG GROUP

DATTE 13795/022

نقشه‌های شماره سه، چهار، پنج و شش:

$$\frac{1}{n}(a^2 + v^2) \cdot \frac{1}{2}$$

نکته: مرتبه مشتق است.

مشتق اول قائم (گرادیان قائم) هم ارز با اندازه میدان مغناطیسی بطور همزمان در دو نقطه قائم در بالای یکدیگر است مشتق دوم قائم، گرادیان قائم مشتق اول می‌باشد و... فرمول موجود نشان می‌دهد که فرکانسهای بالا وابسته به فرکانسهای پائین جداگشته و بر تعداد آنها افزوده می‌گردد و این یک کاربرد عملی مشتق در حذف اثر طول موج ناحیه‌ای می‌باشد و اثر آنومالیهای مجاور را تعزیز می‌کند.

قدرت تعزیزی مشتق دوم بیشتر از مشتق اول است. لذا برای کاربرد آن نیاز به داده با دقت بالا می‌باشد چراکه با افزایش فرکانس بالا نتیجتاً افزایش Noise (اختلال) را نیز داریم. در ورقه جبال بارز با استفاده از فیلترهای مختلف، توانستیم اختلالات موجود را حذف کرده و نقشه مشتق دوم قائم را بطور مطلوب در اختیار داشته باشیم.

همانطورکه مشاهده می‌کنید توده‌های سطحی در این نقشه قابل رؤیت می‌باشند، روند توده‌ها شمال غرب - جنوب شرق است. تجزیه توده‌ها در این نقشه مشخص شده است. توده A که بر روی گرانیت واقع است در این نقشه شدت خود را تقریباً از دست داده است و این نشانگر این است که این توده قابلیت مغناطیسی بطور واقعی نداشته است. توده B با همان شدت مشاهده می‌گردد و یک توده سطحی تلقی می‌شود. توده C با شدت بالای مغناطیسی مشاهده می‌گردد و در نقشه شماره یک که به نوعی در ارتباط با توده B مشاهده می‌شود در اینجا از توده B متمایز گشته است و به نوعی با توده شماره E در ارتباط است، توده شماره D نیز با شدت نسبی مشاهده می‌گردد.

توده شماره E توسط مرز شارپی به دو قسمت تجزیه شده است و خطواره ۱۴.۳ نیز در ناحیه مشاهده می‌گردد، قسمتی که در نقشه شماره دو با رنگ سفید نشان داده شده بود. بعد در اینجا نیز با همان شدت پائین مشاهده می‌گردد و در ادامه خطواره فوق قرار گرفته است.

توده شماره F1 که از شدت نسبی برخوردار می‌بود در این نقشه از شدت بالایی برخوردار می‌باشد و یک توده سطحی تلقی می‌شود، در نقشه شماره یک توده A با شدت نسبی و توده H با شدت پائین قرار داشتند، در نقشه شماره سه این دو توده تبدیل به یک بی‌هنگاری با روند شمال غرب جنوب شرق شده و شدت بالایی را از خود نشان داده‌اند. توده G نیز با همان شدت مشاهده می‌گردد.

توده L با شدت بالایی در نقشه شماره سه مشاهده می‌شود که این توده احتمالاً با توده F1 در ارتباط است و در این ناحیه خطواره‌ای مشاهده می‌گردد که باعث جدایش این دو توده شده است. و توده K نیز با شدت بالایی قابل رؤیت است که احتمالاً این توده در ارتباط با توده A می‌باشد و خطواره‌ای که در این ناحیه مشاهده می‌گردد سبب جدایش این توده شده است. برای مشاهده دقیق تر توده‌های سطحی در ناحیه مشتق دوم قائم (نقشه شماره ۴) و نیز نقشه گسترش بطرف پائین در ارتفاع ۲۵۰۰ متر (نقشه شماره ۵) تهیه گشت. در این دو نقشه همانطورکه مشاهده می‌کنید توده‌های سطحی و تجزیه شده بطور واضح‌تری قابل مشاهده هستند. توده شماره F که در نقشه شماره سه قابل رؤیت نبود، در نقشه شماره ۴ و ۵ با شدت مغناطیسی، قابل مشاهده است. در این نقشه‌ها توده شماره C و E در ارتباط با یکدیگر می‌باشند. خطواره ۴۳.۶ که سبب جابجایی توده‌ها

شده است. در این نقشه به راحتی قابل مشاهده است.

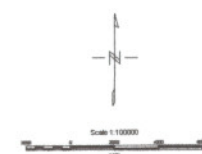
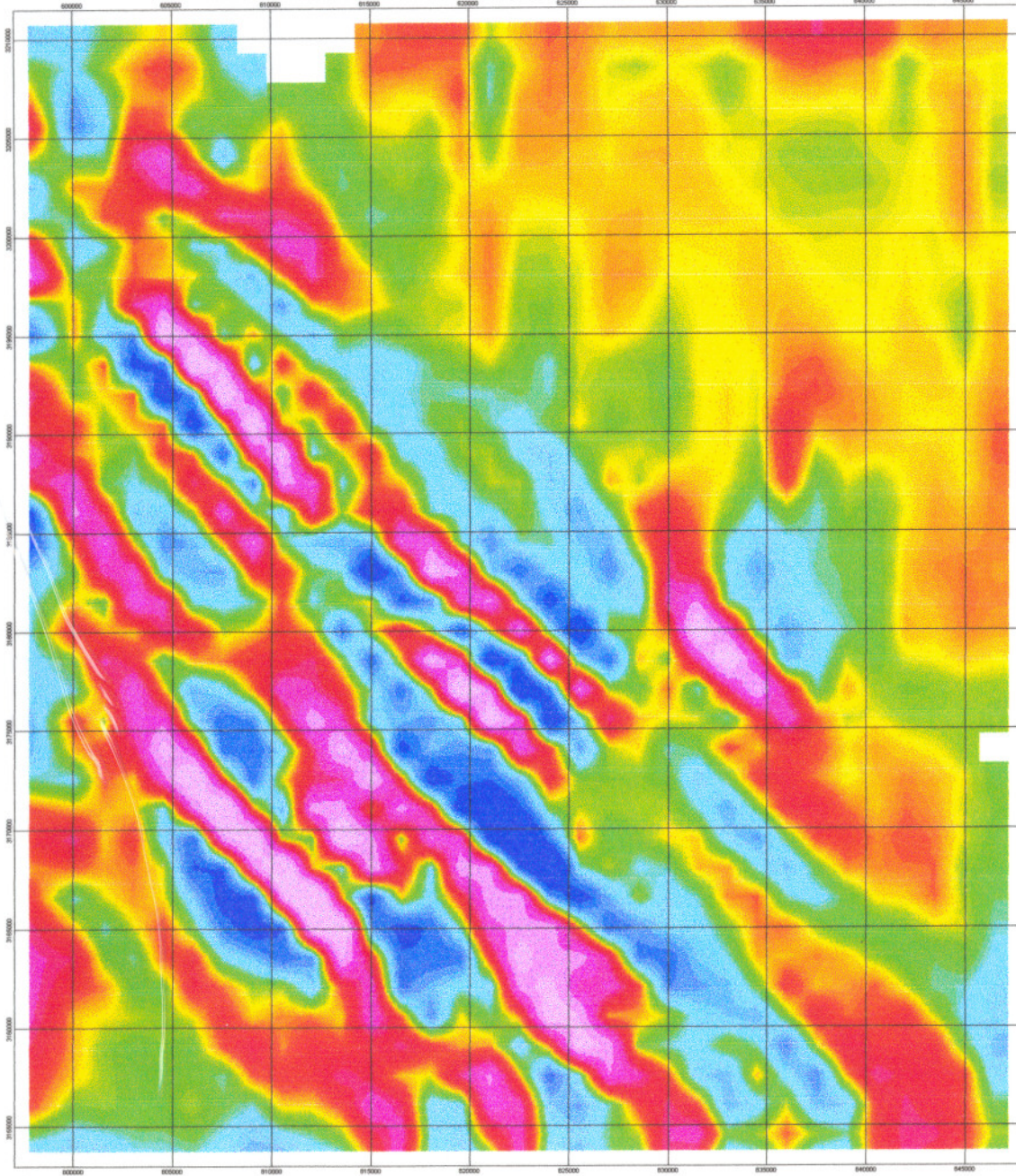
با تفسیر این سه نقشه، توده‌های سطحی منطقه تعیین گشتند.

در نقشه شماره پنج حداقل شدت ۳۴۱۵۹ نانوتسلا و حداکثر ۴۴۷۳/۱ نانوتسلا می‌باشد. ناحیه‌ای که با علامت؟ در نقشه شماره دو مشخص شده در نقشه شماره ۴ یک اثر طیف و در نقشه شماره پنج بصورت نقطه نقطه اثر از خود نشان داده است در نقشه زمین‌شناسی در این ناحیه چند چشمی وجود دارد شاید بتوان با این نقشه این واحد گرمابی را یک واحد تصور نمود. این ناحیه نیاز به کنترل بیشتر دارد. با استفاده از نقشه اسپکترومتری منطقه می‌توان عمق توده‌های سطحی را تعیین نمود. در واقع بدون دراختیار داشتن گرید (شبکه) منطقه می‌توان عمق توده‌های سطحی را تعیین نمود. و ماکزیمم عمق توده‌های سطحی در ناحیه ۱۰۰۰ متر می‌باشد.

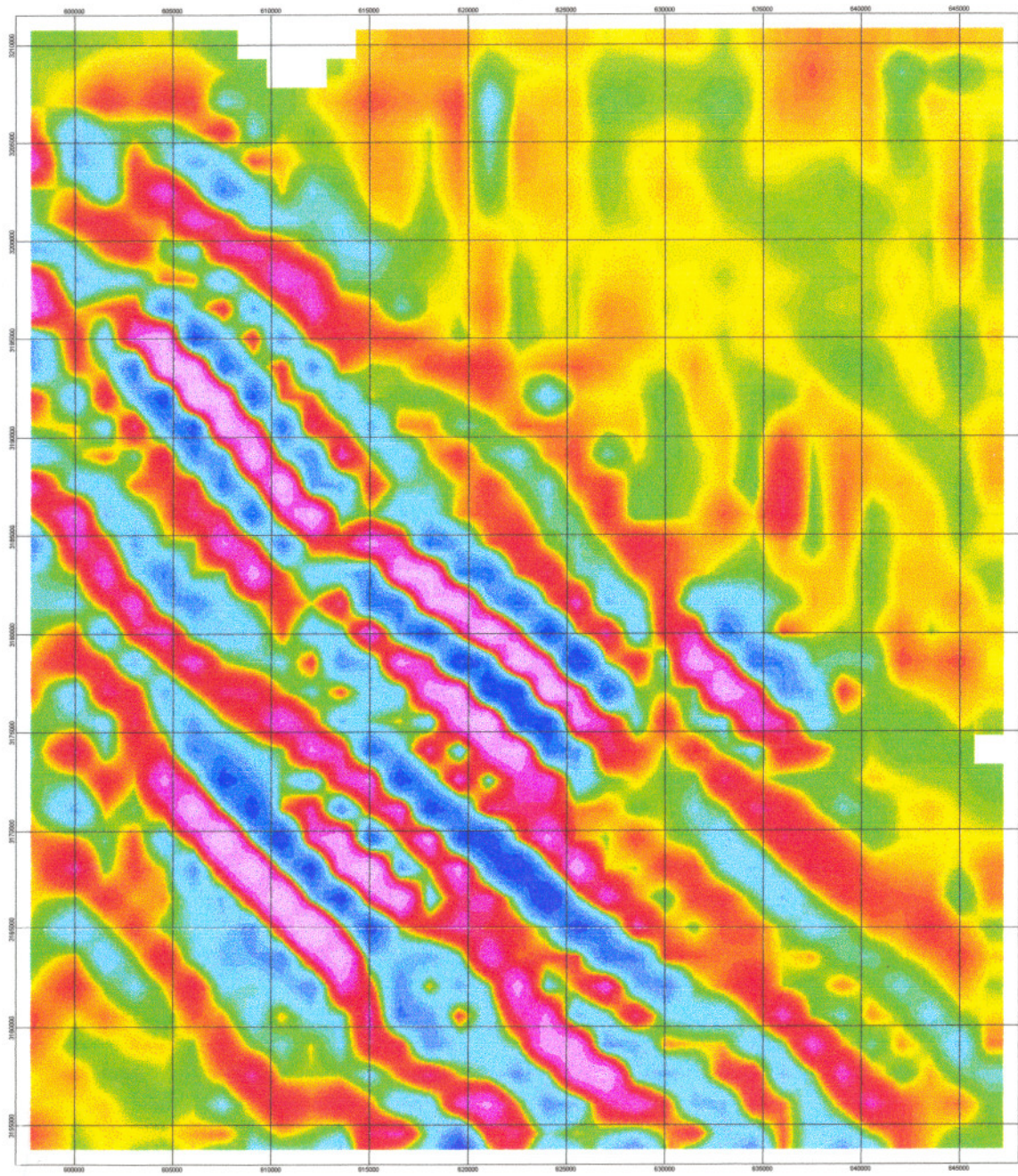
در قسمت شمال غربی ناحیه که واحد ۱ در حاشیه آن قرار داشت، توده‌ای بی‌هنجری با شدت نسبی در نقشه شماره سه نشان داده شده است که در نقشه شماره چهار این توده شدت بالاتری را به خود اختصاص داده است و زمانی که سطح ارتفاع را به ۲۵۰۰ متر به پائین انتقال داده‌ایم گوشة شمال غربی ناحیه که در نقشه کلی دارای مغناطیس پائین می‌بود، در اینجا خاصیت مغناطیسی را از خود نشان داده است. به علت اینکه داده‌ها با فاصله خطوط ۷/۵ کیلومتر می‌باشند نمی‌توان بطور قطع این ناحیه را بصورت آنومالی پیشنهاد نمود ولی احتمالاً این ناحیه منبع بی‌هنجری در منطقه که بطور سطحی است می‌باشد. لذا کنترل زمینی در این ناحیه پیشنهاد می‌گردد.

گوشة جنوب غربی ورقه نیز در نقشه کلی شدت پائینی را به خود اختصاص داده است وی در نقشه شماره چهار و بویژه نقشه شماره پنج دارای شدت نسبی می‌باشد. و چون این دو نقشه دلالت بر توده‌های سطحی دارند و نقاط Peak مانندی نیز در این ناحیه مشاهده می‌شود لذا کنترل زمینی این ناحیه پیشنهاد می‌گردد.

aeromagnetic map

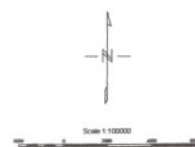


AEROMAGNETIC MAP

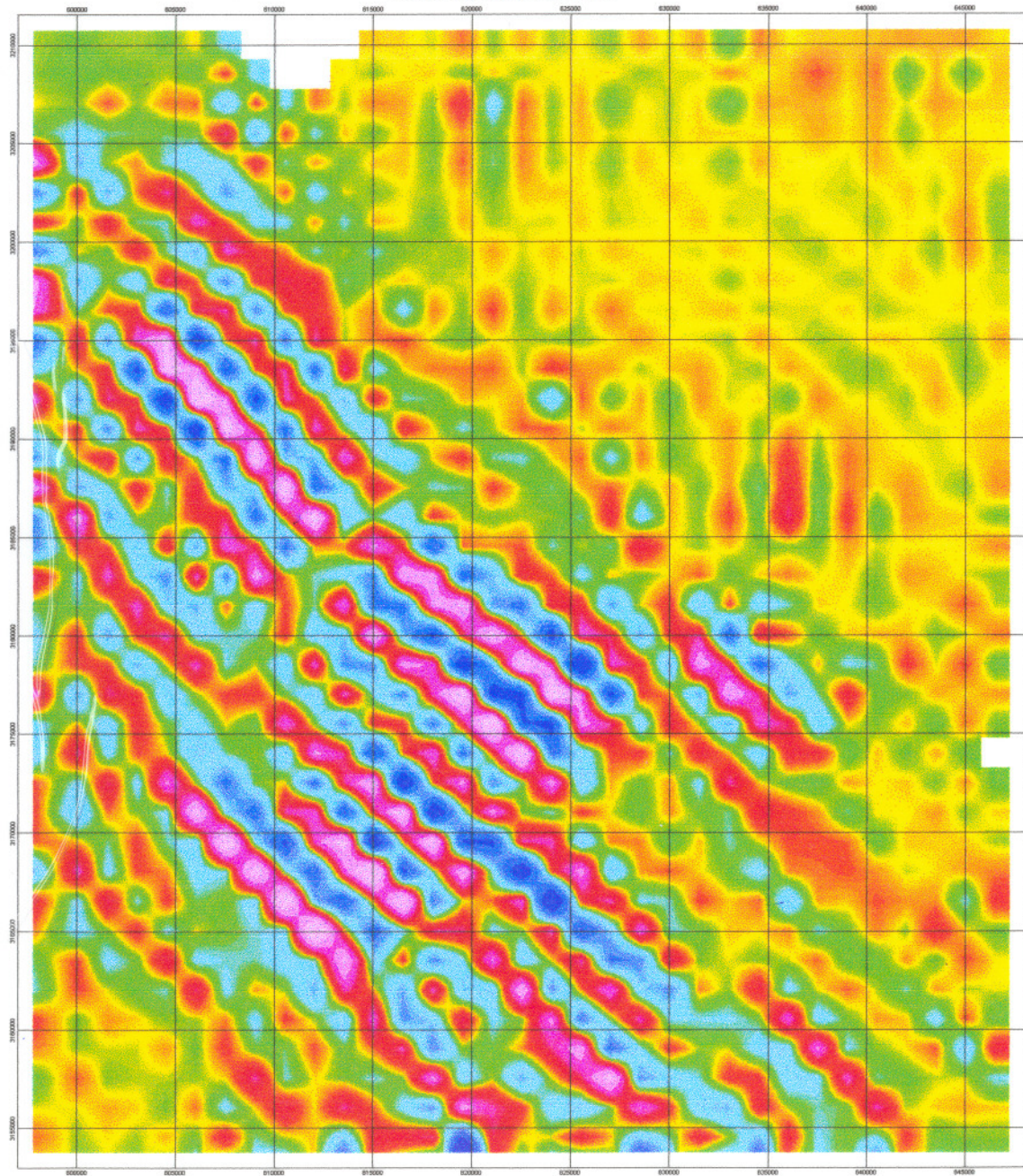


0.00020
0.00013
0.00010
0.00008
0.00006
0.00005
0.00004
0.00003
0.00003
0.00002
0.00002
0.00001
0.00001
0.00001
0.00001
0.00001
0.00000
0.00000
0.00000
0.00000
-0.00000
-0.00000
-0.00000
-0.00000
-0.00000
-0.00001
-0.00001
-0.00001
-0.00001
-0.00001
-0.00002
-0.00003
-0.00003
-0.00004
-0.00005
-0.00006
-0.00007
-0.00009
-0.00013
-0.00018

COLOR SCALE BAR
NT/m



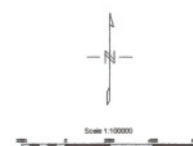
AEROMAGNETIC MAP



مدادویژه
سازمان زمین شناسی و
اکتشافات معدنی کشور

44073.1
42561.7
41753.5
41302.4
40947.4
40679.5
40404.6
40218.9
40047.2
39925.0
39835.7
39749.2
39698.1
39639.9
39580.8
39541.9
39508.7
39477.6
39446.8
39420.9
39390.2
39364.1
39327.3
39280.8
39235.9
39193.1
39132.0
39062.8
38970.6
38847.9
38685.2
38570.7
38395.6
38224.1
37971.3
37539.2
37189.0
36721.6
35933.8
34159.3

COLOR SCALE BAR
NT



نقشه شماره ۶:

نقشه Analytic Signal ناحیه می‌باشد. این فیلتر وابسته به میدان مغناطیسی توسط عمل مشتق‌گیری

$$\text{Analytic signal} = \left\{ \left[\frac{dx^2}{dm} + \frac{dy^2}{dm} + \frac{dz^2}{dm} \right] \right\}$$
 می‌باشد.

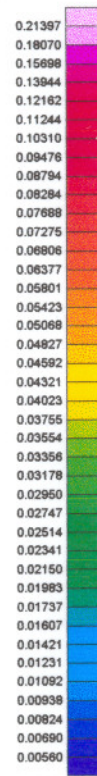
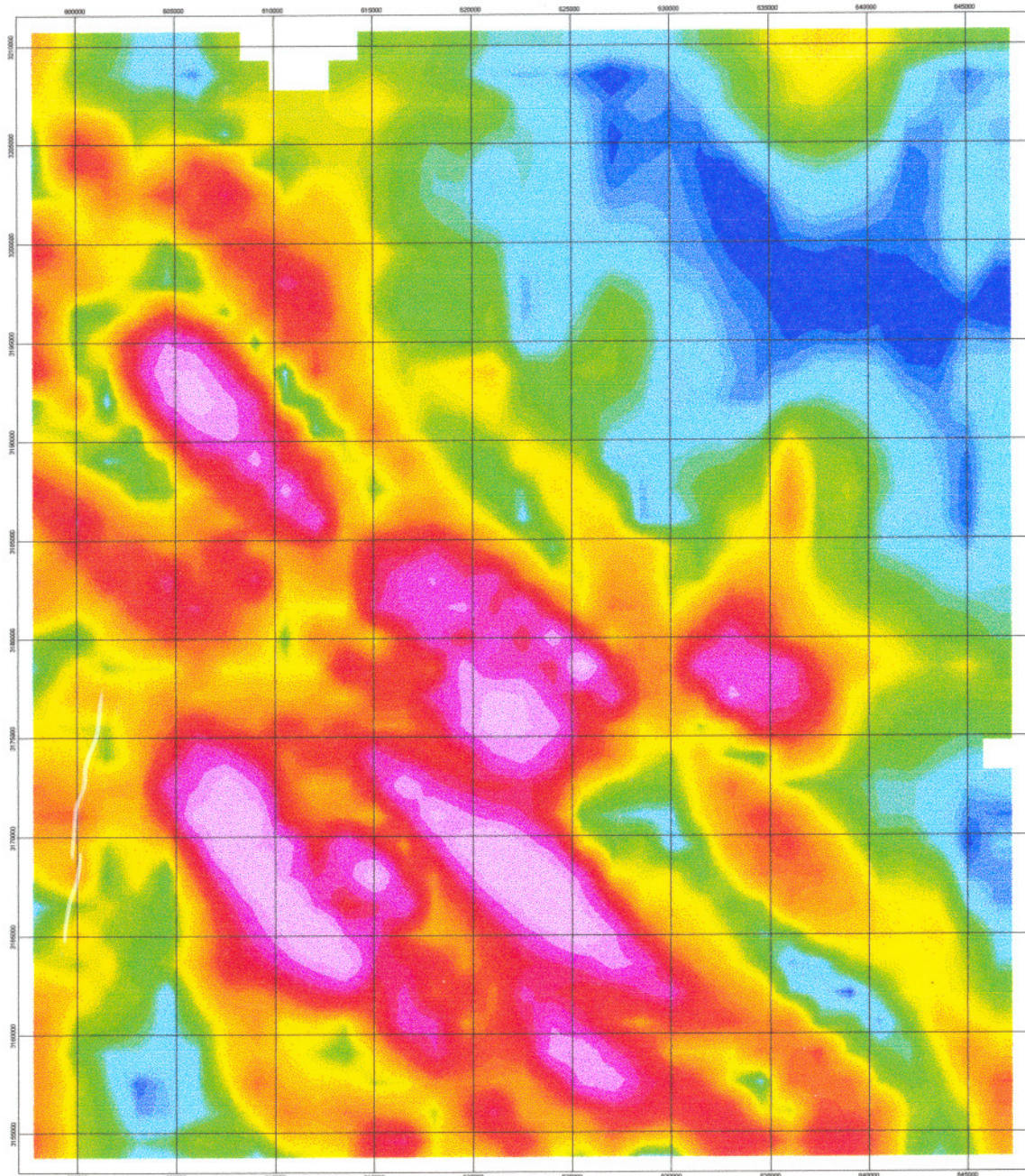
m : آنومالی مغناطیسی است.

در این پارامتر تمامی توده‌ها دارای هندسهٔ یکسان می‌باشند بنابراین پیک‌ها (قله‌ها) متقارن هستند و نسبتاً در بالای لبه‌های توده‌های پهن و در بالای مرکز توده‌های باریک می‌افتد. تفسیر این نقشه به همراه نقشه‌های دیگر درک محل و هندسه منبع مغناطیسی را آسانتر می‌سازد و همچنین موقعیت منبع را علی‌رغم هرگونه پایداری در منابع تعیین می‌کند. این روش بنایه عقیدهٔ تعدادی از دانشمندان نوعی برگردان به قطب نیز محسوب می‌گردد. بسته به نوع ناحیه این روش کاربرد دارد بطوریکه در بعضی از نواحی جواب مثبتی را می‌دهد و نقشهٔ کلیدی در زمینهٔ تفسیر تلقی می‌شود و در بعضی از نواحی به علت عوامل گوناگون مورد تفسیر قرار نمی‌گیرد.

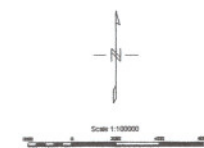
در نقشه‌های قبلی مرتبط بودن توده C و E با یکدیگر عنوان شده بود. در این نقشه منبع بی‌亨جاري بر روی توده E مشاهده می‌گردد. نیمی از توده F و B تشکیل یک بی‌亨جاري داده‌اند. توده‌های او H و F1 یک واحد را تشکیل می‌دهند و شماره‌های K و L نیز توده واحد دیگری را تشکیل داده‌اند. در شمال شرقی ناحیه در زیر رسوبات کواترنر بی‌亨جاري پائین قابل رویت است.

در نقشه شماره شش یک مرزکلی در ناحیه مشاهده می‌شود و آن در قسمت میانی مابین رسوبات کواترنر و ناحیه مرکزی به سمت جنوب می‌باشد. بطوری که در جنوب این مرز شدت مغناطیسی از متوسط به بالا قابل رویت است. بعضی از خطواره‌ها در این نقشه نیز رویت می‌شوند. کلاً ۶ توده بی‌亨جار در ناحیه توسط این نقشه شناسائی می‌گردد. قسمت شمال غربی همانطور که در قبل به این اشاره شد در اینجا نیز از شدت نسبی برخوردار است.

AEROMAGNETIC MAP



COLOR SCALE BAR

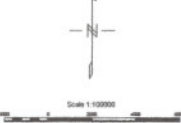
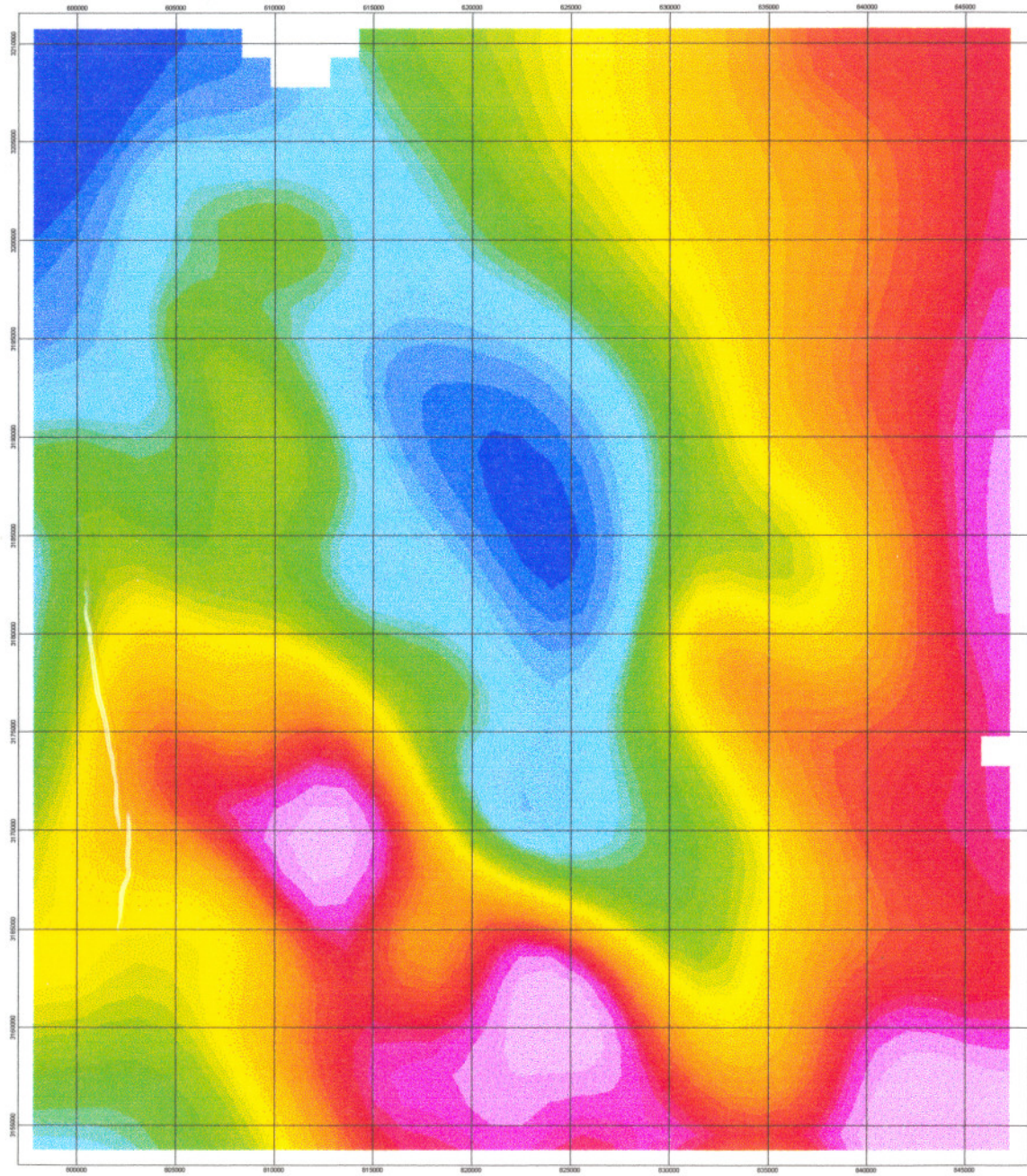


GEOLOGICAL SURVEY OF IRAN
OB GROUP
AREA: JEBALE BAREZ
ANALYTIC SIGNAL
DATE: 17/9/02
FIG NO: 6
PROVIDED BY ANOUSHKA HAJEMI

نقشه شماره ۷:

نقشه گسترش به طرف بالا در ناحیه می باشد. تا ارتفاع ۳۰۰۰ متر داده ها به سطح بالاتری انتقال پیدا کرده اند. توده های عمیق در این نقشه قابل شناسائی می باشند. در زیر رسبات کواترنر در عمق زیاد شدت مغناطیسی متوسطی مشاهده می گردد و این حاکی از منبع عمیقی در زیر رسبات می باشد. در توده عمیق دیگر در جنوب ورقه که بر روی واحد qd قرار گرفته اند مشاهده می شود. گرانیت موجود در گوشة جنوب شرقی منطقه از عمق بالایی بخوردار است و می توان عمیق بودن واحد را استنباط نمود. توسط منحنی شارپ قسمت مرکزی بی هنجاری همگن پائینی را از خود نشان داده است و این امر توده های سطحی را که در نقشه های قبل مشاهده می شوند را به نوعی توجیه می کند.

AEROMAGNETIC MAP



GEOLOGICAL SURVEY OF IRAN
GSI GROUP
AREA: TABALE BAREZ
UPWARD CONTINUATION (WGS84)
DATE: 1397/02/02
FIG NO: 7
PROVIDED BY: ARASHIA RAGHEM

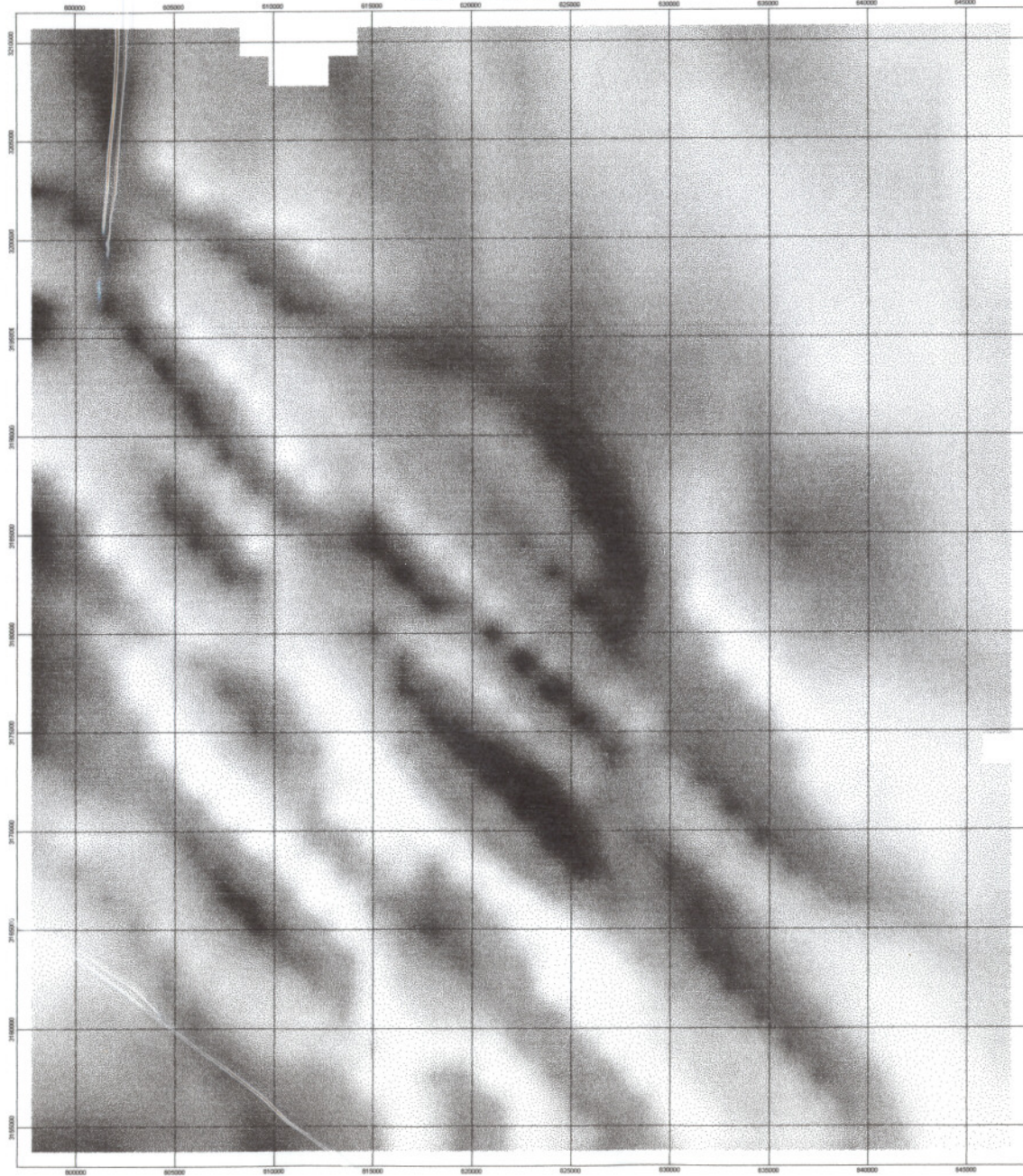
نقشه‌های شماره ۸ و ۹:

نقشه شماره هشت نقشه بازتابش یا Shaded relief در ناحیه جبال بارز می‌باشد (با انحراف و میل مغناطیسی 18° و 22°). برای نشان دادن عوارض خطی از این نقشه استفاده می‌گردد.

برای تعیین گسل و خطواره‌ها از نقشه‌های مشتق قائم نیز استفاده می‌شود ولی در موقعی که تشخیص این عوارض کار بسیار دشواری است استفاده از این نقشه‌ها گمراه کننده می‌باشد. نقشه بازتابش بطور سریع باعث تشخیص گسل‌ها می‌گردد. عموماً در دو زاویه، زاویه راست در جهت امتداد و موازی آن نور تابانده می‌شود. بنابراین دو نقشه متفاوت ایجاد شده که با مقایسه یکدیگر عوارض خطی تعیین می‌گردند. این نقشه بطور تقریبی در شناسائی آنومالیها و تعیین گنبد، دایک، سیل نیز ما را یاری می‌دهد. نقشه شماره نه، نقشه کنتوری منطقه می‌باشد. تهیه نقشه کنتوری در دو مقیاس متفاوت برای در نظر گرفتن داده‌ها بصورت ناحیه‌ای و جزئی لازم می‌باشد. خطوط کنتوری نقشه‌ها برای تفسیر لازم هستند بطوری که می‌توان در تخمین محدوده، عمق، شبی از آنها استفاده نمود.

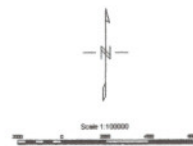
همچنین بیرون آوردن مقدار گسترش از خطوط نقشه‌های کنتوری آسانتر از تصویرهاست. یک اصل دیگر استفاده از نقشه‌های کنتوری چک کردن شبکه و مراحل کنتور می‌باشد. خطواره‌های گسل‌های احتمالی در منطقه جبال بارز به کمک دو نقشه فوق و نقشه‌های دیگر مورد مطالعه قرار گرفتند که شرح آنها در نقشه تفسیری - تکمیلی آورده شده است.

AEROMAGNETIC MAP



INCLINATION 18

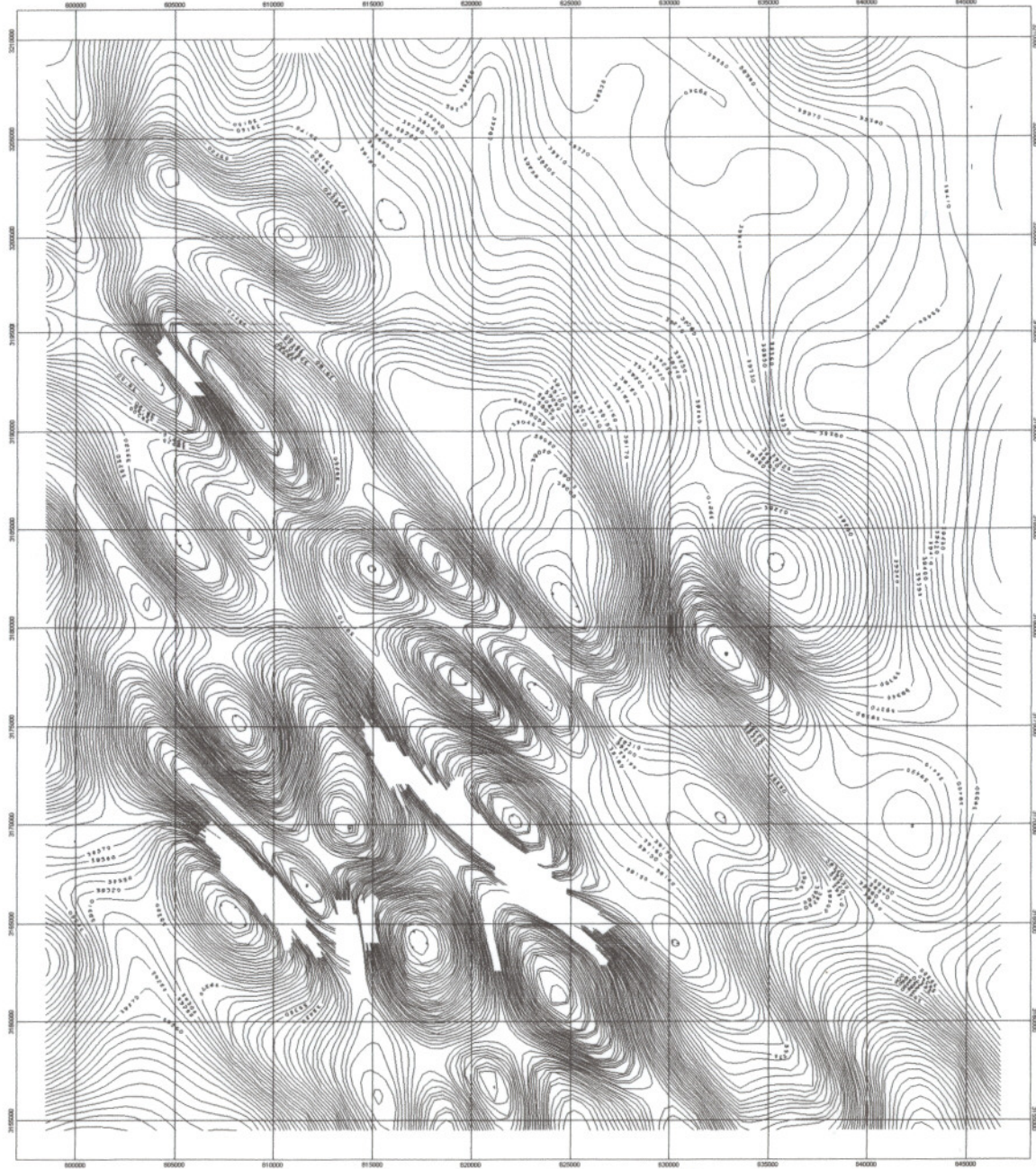
DECLINAITION 22

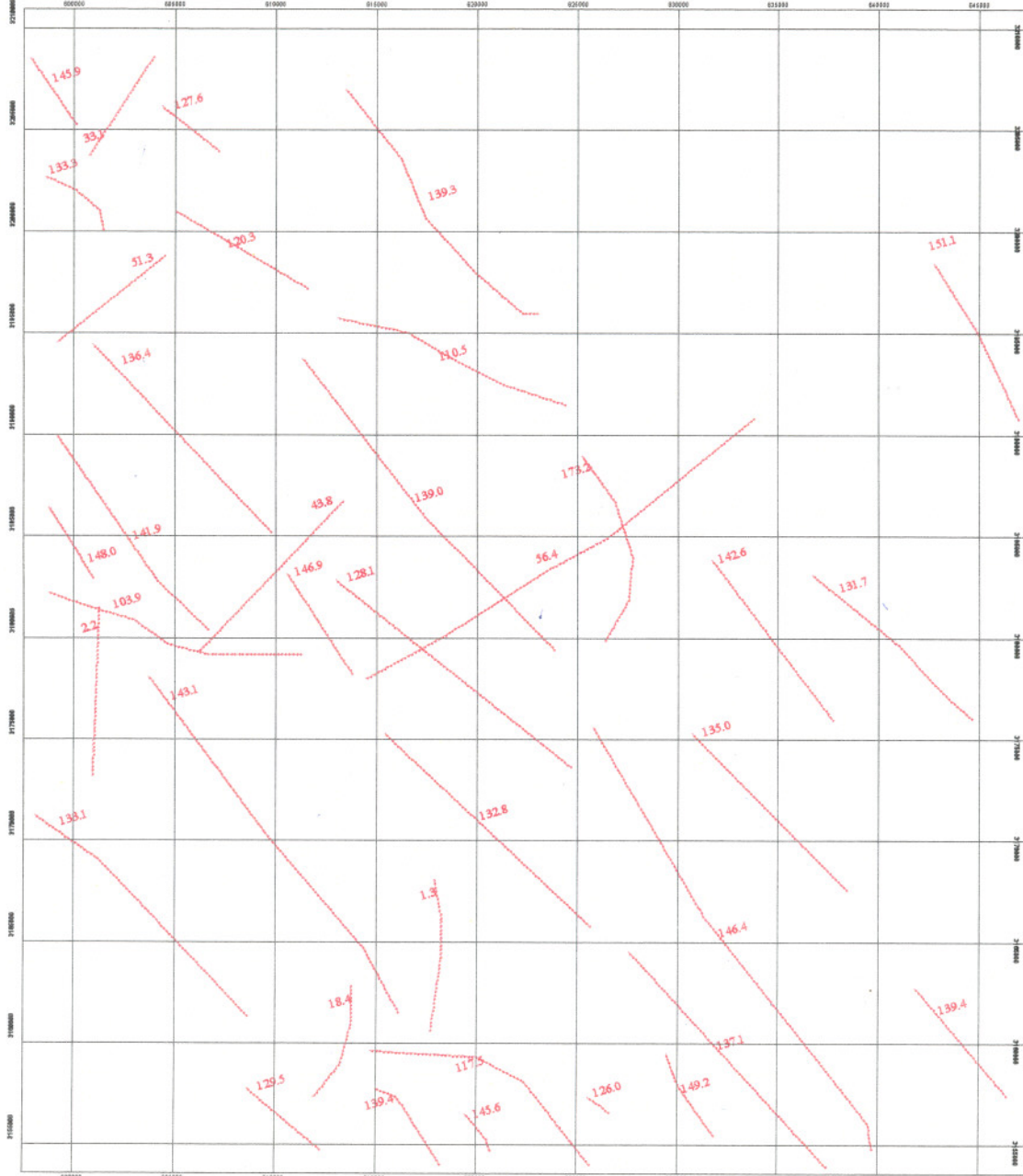


GEOLOGICAL SURVEY OF IRAN
OB GROUP
AREA JEBAL BAREZ
SHADOW IMAGE
DATE 1379/02
FIG NO 8
PROVIDED BY ARAYNA RADEMI



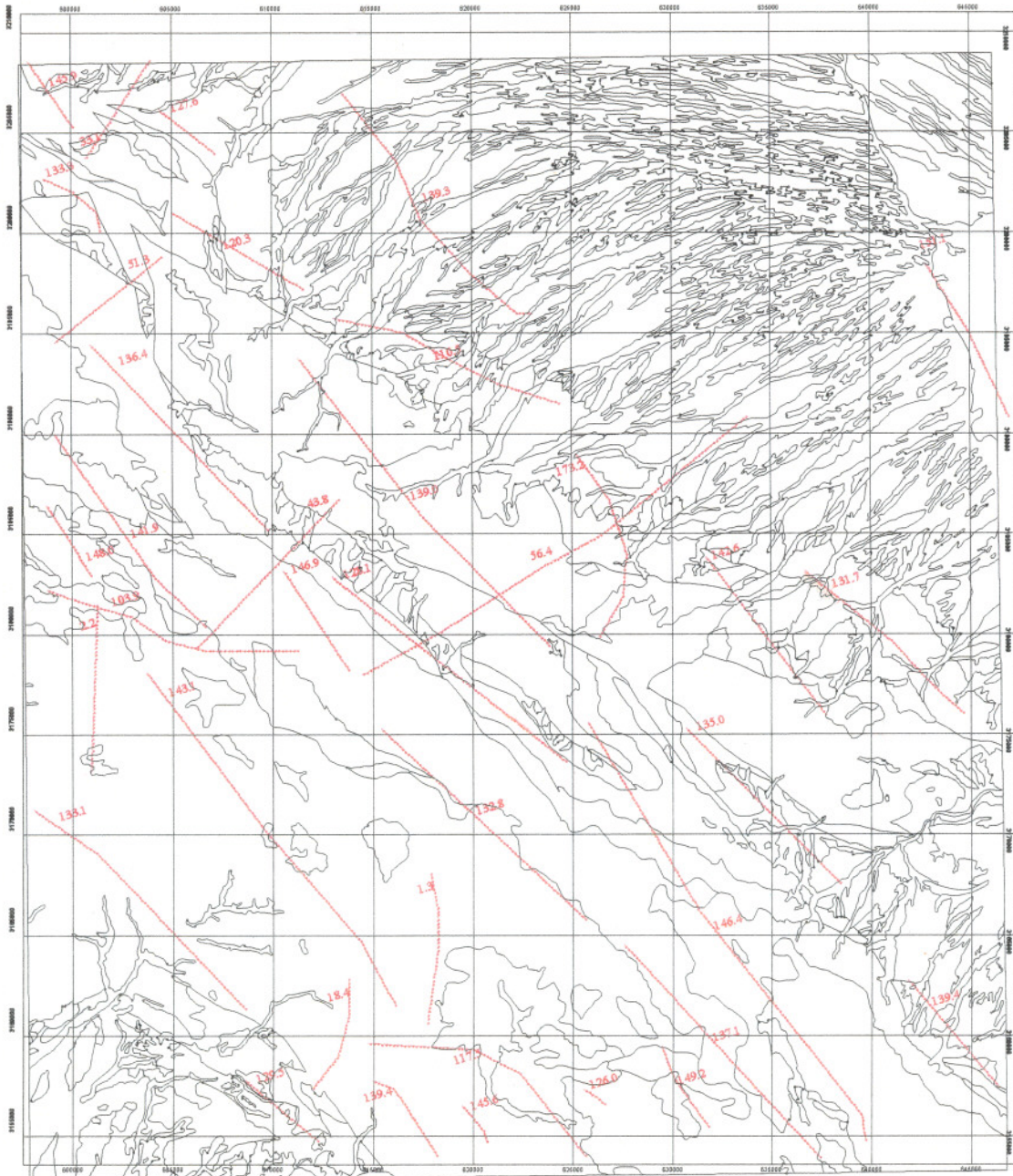
AEROMAGNETIC MAP





magnetic lineaments





magnetic lineaments



نتیجه گیری :

تمامی واحداها از نظر مغناطیسی در ورقه جبال بارز مورد مطالعه قرار گرفتند و توده‌های مغناطیسی در ورقه تشخیص داده شدند.

نقشه شماره ۱۰ :

نقشه تفسیری - تکمیلی ورقه جبال بارز می‌باشد در این نقشه تعدادی از واحدهای زمین‌شناسی، توده‌های مغناطیسی و توده‌های نفوذی مغناطیسی و خطواره‌ها مشخص شده‌اند که در زیر به شرح آنها می‌پردازیم.

خطواره‌ها :

- ۱۴۵/۹ با روند شمال غرب - جنوب شرق واحد Ev عبور کرده است و در نقشه زمین‌شناسی مشاهده می‌شود.

- ۳۳/۱ در جهت عمود بر خطواره فوق با روند شمال شرق، جنوب غرب عمل کرده است. در نقشه زمین‌شناسی رؤیت نمی‌شود.

- ۱۳۳/۳ در شمال غربی ورقه از روی واحد Eta3 و Edt2 در ده غاصین عبور کرده است.

- ۱۲۰/۳ در امتداد خطواره ۱۴۵/۹ قرار گرفته است. از روی واحد Ev عبور کرده است. به نظر می‌رسد بی‌هنگاری اشاره شده در نقشه‌های مغناطیسی در این ناحیه در اثر عملکرد این گسل قرار گرفته است.

- ۱۲۷/۶ به نظر می‌رسد در ادامه خطواره ۱۴۵/۹ بوده است و در اثر عملکرد ۳۳/۱ این دوازیکدیگر جدا شده‌اند در گوشش شمال غربی ورقه چهار خطواره فوق در جهات مختلف عمل کرده‌اند و به نوعی این در منطقه شکستگی‌های متعدد مشاهده می‌شود. لذا کنترل این ناحیه پیشنهاد می‌گردد.

- ۵۱/۳ با روند شمال شرق - جنوب غرب از روی واحد Eta3 و Edt2 عبور کرده است. اثر ضعیفی از این خطواره در نقشه شماره ۵ مشاهده می‌شود.

- ۱۳۹/۳ با روند تقریبی شمال غربی - جنوب شرقی از روی واحدهای کواترنر عبور کرده است. اثری از این خطواره در نقشه زمین‌شناسی مشاهده نمی‌شود لذا احتمالاً دلالت بر عمیق بودن آن را دارد.

- ۱۱۰/۵ در قسمت شمال غربی ورقه از روی رسوبات کواترنر - واحد Evt1 با روند تقریبی شرقی - غربی عبور کرده است.

- ۱۳۶/۴ با روند شمال غربی - جنوب شرقی از روی واحدهای Eat و Ert عبور کرده است که اثری از آن در نقشه زمین‌شناسی مشاهده نمی‌شود و احتمالاً در تجزیه توده بی‌هنجر K دخالت داشته است.

- ۱۳۹/۰ با روند شمال غربی - جنوب شرقی که از روی واحدهای Eta1 و Eac و Ert عبور کرده است و در نقشه زمین‌شناسی نیز مشاهده می‌گردد. این خطواره جزء یکی از اصلی‌ترین خطواره‌های ورقه محسوب می‌گردد.

- ۴۳/۸ با روند شمال شرقی - جنوب غربی که در نقشه شماره ۵ نیز به وضوح دیده می‌شود از روی واحدهای d، Etr، Eat، Ec، Edca عبور کرده است. این خطواره نقش بسزائی در تجزیه بی‌هنجریهای اشاره شده در این ناحیه داشته است.

- ۱۴۱/۹ به موازات خطواره ۱۳۶/۴ قرار گرفته است و در جنوب آن خطواره ۱۴۸ واقع شده است.
- ۱۰۳/۹ در اثر عملکرد گسل ۴۳/۸ تغییر جهت داده است و با روند تقریبی شرقی - غربی بر روی واحد Ert و قرار گرفته است و خطواره ۲/۲ با روند شمالی - جنوبی این خطواره را قطع کرده است. لذا شماره Edca این سه خطواره در ناحیه باید مورد بررسی بیشتر قرار گیرد.

- ۱۴۶/۹ در امتداد خطواره ۱۳۶/۴ قرار داشته است که در اثر عملکرد گسل ۴۳/۸ جابجا شده است، خطواره ۱/۱۲۸ نیز در همان امتداد واقع شده است.

آثاری از خطواره‌های فوق در نقشه زمین‌شناسی مشاهده می‌شود.

- ۵۶/۴ با روند شمال شرقی - جنوب غربی از روی واحدهای Eac، Ec، Eat، Ert، کواترنر Eta1 عبور کرده است. آثاری از آن در نقشه‌های شماره ۴ و ۵ مشاهده می‌شود و این خطواره در جدایش توده‌ای بی‌هنجر در میانه ورقه اثر کرده است.

- ۱۷۳/۲ تقریباً به همان روند در نقشه زمین‌شناسی مشاهده می‌شود که مرز بین واحد Eta1 و Eac تلقی می‌گردد و خطواره ۵۶/۴ را بصورت چرخشی قطع کرده است.

- ۱۳۱/۷ - در میانهٔ شرقی ورقه از روی رسوبات کواترنر واحد Ert و Eat عبور کرده‌اند که با روند

شمال غربی - جنوب شرقی مشاهده می‌شوند.

- ۱۳۵/۰ در جنوب شرقی ورقه با همان روند در روی نقشه زمین‌شناسی قابل مشاهده می‌باشد.

- ۱۳۹/۴ گوشه در جنوب شرقی ناحیه با روند شمال غرب - جنوب شرق از روی واحد گرانیت gi عبور

کرده است که در نقشه زمین‌شناسی نیز قابل روئیت می‌باشد. چنین به نظر می‌رسد که دو خطواره فوق در واقع یکی بوده‌اند که در اثر عملکرد گسلی دیگر در جهت عمود بر این دو از یکدیگر جدا شده‌اند.

- ۱۴۶/۴ بر روی واحدهای Eta, Ert-gi با همان روند در نقشه زمین‌شناسی قابل تفکیک می‌باشد. و یکی از خطواره‌های اصلی ناحیه تلقی می‌شود.

- ۱۳۷/۱ در امتداد یکدیگر با روند شمال غربی - جنوب شرقی قرار گرفته‌اند که از روی واحدهای Eta, Ert-gd عبور کرده‌اند.

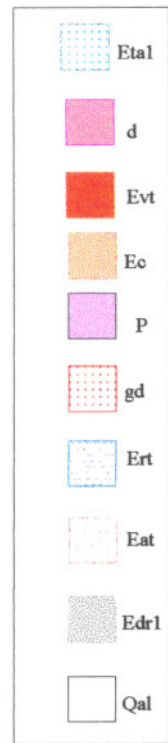
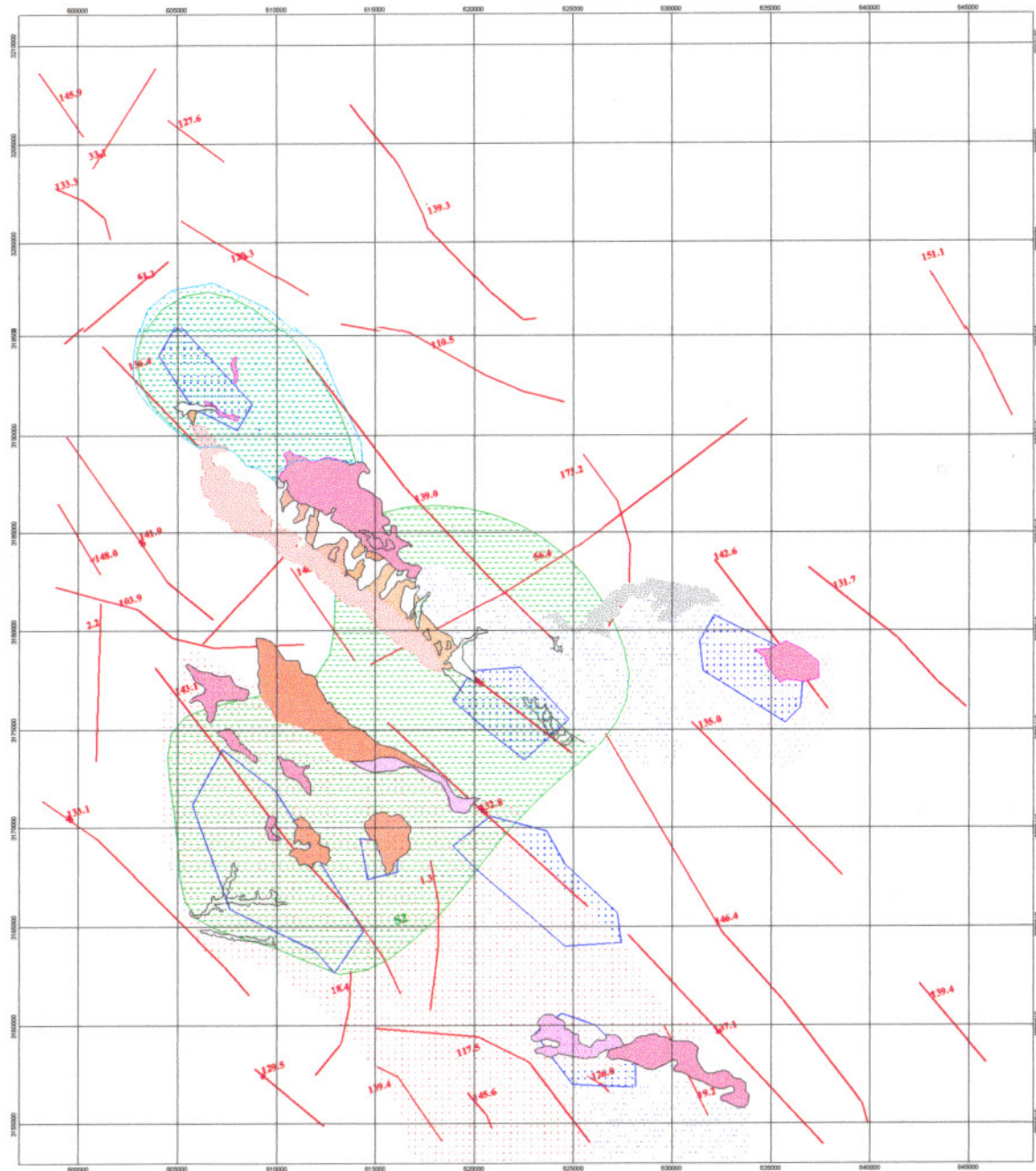
- ۱۴۳/۱ با روند شمال غربی - جنوب شرقی از روی واحد Evt, gd عبور کرده است که آثاری از آن در نقشه زمین‌شناسی مشاهده می‌گردد.

- ۱۱۷/۵ با روند تقریبی شرقی - غربی و شمال غرب - جنوب شرق از روی واحدهای فوق عبور کرده است خطواره ۱/۳ نیز با روند تقریبی شمالی - جنوبی مشاهده می‌گردد. به نظر می‌رسد که عملکرد این سه خطواره فوق باعث ایجاد منطقه مشخص شده در نقشه شماره دو بصورت؟ شده‌اند. که این ناحیه نیاز به کنترل بیشتر زمینی دارد.

- خطواره‌های ۱۸/۴ - ۱۲۹/۵ - ۱۳۹/۴ در جنوب غربی ناحیه مشاهده می‌شوند با توجه به بی‌هنگاری نسبی در نقشه شماره چهار و پنج و سطحی بودن آنها، این خطواره‌ها احتمالاً به نوعی در کانی زایی نقش دارند لذا این ناحیه جهت کنترل بیشتر معرفی می‌شود.

خطواره ۱۳۸/۱ که با روند شمال غرب - جنوب شرق این خطوط را قطع می‌کند نیز حائز اهمیت می‌باشد.

AEROMAGNETIC MAP



Shallow magnetic bodies

Magnetic bodies

Magnetic lineaments



Scale 1:100000

توده‌های نفوذی کم عمق:

دو توده نفوذی بارنگ سبز در نقشه مشخص شده‌اند. توده نفوذی اول در شمال غربی ورقه بروی واحد d، قرار گرفته است و توده نفوذی دوم با وسعت بیشتر و روندی مخالف، توده قبلی بروی واحد Eta1، قرار گرفته است. Eat، Ert، Ec، gd، Evt

این دو توده می‌توانند در کانی زایی در قسمت غربی (شمال غرب و جنوب غرب) نقش بسزائی داشته باشند. تجربه نشان داده است که تا ۴ کیلومتری اطراف این توده‌ها نیز می‌توان احتمال کانی زایی را پیش‌بینی نمود. دو توده فوق جهت کنترل زمینی پیشنهاد می‌گردند.

توده‌های مغناطیسی

شش توده مغناطیسی در ورقه به جزء دو توده‌ای که به علت نوع داده‌ها و همانطور که در قبل شرح داده شده در اینجا مشخص شده‌اند. به علاوه دو توده جدا شده این شش توده جهت کنترل زمینی پیشنهاد می‌گردند. توده قرار گرفته در قسمت جنوب شرقی بر روی واحد P و L حائز اهمیت می‌باشد و کنترل بیشتر آن پیشنهاد می‌گردد.

سه توده قرار گرفته بر روی توده نفوذی کم عمق با وسعت زیاد در ناحیه در اولویت دوم قرار دارند. شایان ذکر است که مناطق پیشنهاد شده، نتایج حاصل از بررسی مغناطیس سنگی هوائی در ناحیه می‌باشند لذا جهت انطباق و کمک به تفسیر اکتشافی منطقه ارائه می‌گردد. بیشترین توجه را باید معطوف به توده‌های قرار گرفته در امتداد گسل‌ها و یا محاصر شده توسط چندین گسل داشت. امید است که نتایج حاصل در جهت اطلاع‌رسانی به کارشناسان زمین‌شناسی مفید بوده باشند. /ش ۱۶-